

Vysoká škola: **strojní a textilní v Liberci**

Katedra: **pístových strojů**

Fakulta: **strojní**

Školní rok: **1968/1969**

## DIPLOMOVÝ ÚKOL

pro **Jareoslava KOSTA**

odbor **04-1-04 stavba výrobních strojů a zařízení**

Protože jste splnil..... požadavky učebního plánu, zadává Vám vedoucí katedry vě smyslu směrnice ministerstva školství o státních závěrečných zkouškách tento diplomový úkol:

Název tématu: **Kinematika a dynamika rozvedu OHV**

### Pokyny pro vypracování:

1. Proveďte literární rešerši řešení rozvedového mechanismu OHV s přihlédnutím k pružnosti mechanismu a rámcově zhodnete jednotlivé spůsoby řešení.
2. Optimální spůsob výpočtu aplikujte na zvolený typ provedeného motoru ( přihlédněte k výpočtovým možnostem).
3. Navrhněte zkušební zařízení k ověření výpočtové metody. Při návrhu uvažujte zvolený typ motoru a při realizaci použijte hotových dílů.
4. Ověřte experimentálně kinematické vlastnosti sledovaného rozvedového mechanismu a získané výsledky perevnajte s provedeným výpočtem.

Autorské právo se řídí směnicemi MŠK pro státní závěrečné zkoušky č. j. 31 727/62-III/2 ze dne 13. července 1962-Věstník MŠK XVIII, sešit 24 ze dne 31. 8. 1962 § 19 autorského zákona č. 115/53 Sb.

A SKOLA STROJNÍ A TEXTILNÍ  
Ustřední knihovna  
LIBEREC 1, STUDENTSKÁ 5

V 109/1969

Rozsah grafických laboratorních prací: **sezava zkoušebního zařízení**

**detailní výkresy dle potřeby výroby**

Rozsah průvodní zprávy: **60 - 70 stran textu včetně tabulek a grafů**

Seznam odborné literatury: **J. Kežekník:**

**Dynamika střejů, SNTL**

**W.M. Dudley:**

**New Methods in Valve Cam Design  
SAE Quarterly Transactions, vol.2,  
N 1.**

**D.A. Stedhart:**

**Polydync Cam Design,  
Machine Design, vol. 25, NN 1 - 3**

**Ju.A. Kegan:**

**Ustejčivost věrchněklapanných gazeraspre-  
dělitelných mechanismov protiv vibracii.**

**Automobilnaja premyšlennost č. 4/1958**

Vedoucí diplomové práce: **Ing. Oldřich Červinka CSc.**

Konzultanti:

Datum zahájení diplomové práce:

Datum odevzdání diplomové práce: **10. července 1969**



*km!*  
vedoucí katedry

*H. Hruška*  
děkan

*V 109/89*

*v Liberci*

dne 15.dubna

1969

**VŠST LIBEREC**  
**FAKULTA STROJNÍ**

**Strana č. 1**

**5.července 1969**  
**Jaroslav Kost**

**KINEMATIKA A DYNAMIKA**  
**ROZVODU OHV**

O b s a h :

1.0.0 Dynamika rozvodového mechanismu.	str. č.5
1.1.0 Jednohmotová náhradní soustava	5
1.1.1 Stanovení tuhosti náhradního systému	6
1.1.2 Stanovení redukované hmoty náhradního systému	6
1.1.3 Pohybová rovnice náhradní soustavy	8
1.1.4 Narušení kinematické vazby	15
1.2.0 Dvouhmotová náhradní soustava	17
1.3.0 Harmonická analýza pohybu ventilu	19
1.4.0 Vačky s plynulou změnou zrychlení	24
1.5.0 Zhodnocení jednotlivých výpočtových metod	24
2.0.0 Kinematika rozvodového mechanismu s har- monickou vačkou	25
3.0.0 Rozvodový mechanismus motoru M 630	26
3.1.0 Technická data	26
3.2.0 Časování ventilů	26
3.3.0 Tvar vačky a kinematika rozvodu	28
3.4.0 Dynamický výpočet rozvodového mechanismu	30
3.4.1 Výpočet tuhosti ventilových pružin	30
3.4.2 Výpočet předpětí pružin	31
3.4.3 Určení tuhosti ostatních částí rozvodu	31
3.4.4 Stanovení redukovaných hmot součástí mechanismu	33

3.4.5 Řešení pohybu ventilu	34
4.0.0 Měření na rozvodovém mechanismu motoru	
M 630	37
4.1.0 Popis měřící metody	37
4.1.1 Derivační obvod R-C	44
4.1.2 Integrační obvod R-C	45
4.1.3 Praktické provedení integračního a derivačního obvodu - přepínač funkcí	46
4.1.4 Výpočet měřitek	47
4.2.0 Popis zkušebního zařízení	50
4.3.0 Vlastní měření	52
4.3.1 Porovnání výpočtu a měření	56
4.3.2 Záznamy průběhu zdvihu, rychlosti a zrychlení ventilu	57
4.4.0 Zhodnocení měřící metody	72
Závěr	73
Seznam použité literatury	74

Úvod

Zvyšování výkonu spalovacích motorů, spojené s růstem otáček, klade zvýšené nároky také na rozvodový mechanismus. Projevuje se vliv pružnosti jednotlivých částí rozvodového mechanismu a vliv setrvačných sil na pohyb ventilu. Ventil nesleduje přesně navrženou zdvihovou čáru, ale kmitá kolem ní, nekdy se značnou amplitudou. To má za následek zvýšené namáhání součástí rozvodového mechanismu, jejich zvýšené opotřebení a také větší hlučnost při provozu motoru. Pružnost rozvodu může také způsobit změnu časování ventilů a tím nepříznivě ovlivnit výkon motoru.

V předložené diplomní práci je uvedena několik možností řešení rozvodového mechanismu jako soustavy pružných těles. Je navržena měřící metoda a snímač pohybu ventilu. Výpočet i měření je aplikováno na případ sacího ventilu motoru M 630.

### 1.0.0 DYNAMIKA ROZVODOVÉHO MECHANISMU

Se zvyšováním provozních otáček spalovacích motorů se stále více projevuje vliv pružnosti jednotlivých částí rozvodového mechanismu na průběh zdvihu, rychlosti a zrychlení ventilu. V praxi se vliv pružných deformací a setrvačných sil projeví zvýšeným namáháním všech součástí rozvodového mechanismu, zvýšeným hlukem, odrazem ventilu od sedla, atd.

Přesné početní řešení pohybu ventilu by bylo velmi obtížné a proto výpočet je nutno provést za některých zjednodušujících předpokladů.

### 1.1.0 Jednohmotové náhradní soustavy

Nejjednodušší náhradní soustavou je soustava, jež má všechny hmoty redukovány do osy ventilu a pružné části rozvodu jsou nahrazeny pružinou. Redukce hmot a tuhostí se provádí na základě stejné kinetické energie skutečného a náhradního systému. Schema tohoto systému je na obr. 1.

### 1.1.1 Stanovení tuhosti náhradního systému

Jsou-li známy tuhosti jednotlivých členů rozvodového mechanismu, pak celková tuhost redukovaná do osy ventilu se vypočte ze vztahu:

$$k_0 = \frac{1}{\frac{1}{k_2} + \frac{1}{L^2} \left( \frac{1}{k_3} + \frac{1}{k_4} \right)}$$

kde:  $k_1$  - tuhost ventilové pružiny

$k_2$  - tuhost vahadla, čepu vahadla a součástí upevnění vahadla k hlavě

$k_3$  - tuhost zdvihačka a zvedací tyčky

$k_4$  - tuhost vačkového hřídele

$L = \frac{a}{b}$  - poměr rámén vahadla

Pro značnou tvarovou složitost některých součástí rozvodového mechanismu je početní určení celkové tuhosti obtížné. Je proto výhodné použít experimentálního ověření tuhosti rozvodu.

Praktické ověření tuhosti rozvodového mechanismu je ukázáno při výpočtu rozvodu motoru M630.

### 1.1.2 Stanovení redukované hmoty náhradního systému

Jak již bylo uvedeno, redukce hmot všech součástí rozvodového mechanismu do osy ventilu se provádí z rovnosti kinetických energií původního a

náhradního systému.

Redukovaná hmota sestává:

1/ Z hmoty ventilu, talířku, zámku a  $\frac{1}{3}$  hmoty ventilových pružin.

$$m_{rl} = m_v + \frac{1}{3} m_p$$

2/ Z hmoty vahadla, které se určí ze vztahu

$$m_{r2} = \frac{I_0}{a^2}$$

$I_0$  - moment setrvačnosti vahadla

a - rameno vahadla na straně ventilu

3/ Z hmoty zvedací tyčky

$$m_{r3} = \frac{m_t}{3L^2}$$

Tyčku zde uvažujeme jako pružinu.

4/ Z hmoty zdvihátka

$$m_{r4} = \frac{m_z}{L^2}$$

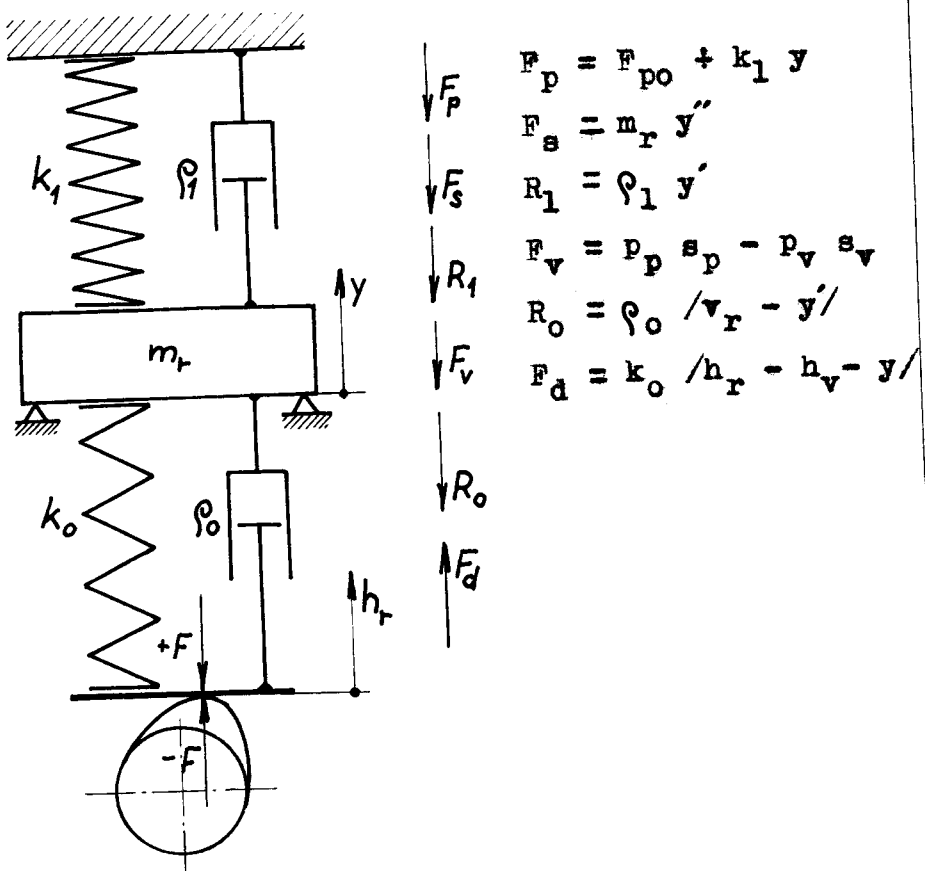
Celková hmota soustavy:

$$m_r = m_{rl} + m_{r2} + m_{r3} + m_{r4}$$

po dosazení:

$$m_r = m_v + \frac{1}{3} m_p + \frac{I_0}{a^2} + \frac{1}{L^2} \left( \frac{m_t}{3} + m_z \right)$$

1.1.3 Pohybová rovnice náhradní soustavy



obr. 1

Použitá označení:

$k_1$  - tuhost ventilové pružiny

$k_o$  - redukována tuhost rozvodu

$\rho_1$  - tlumení pohybu ventilu

$\rho_0$  - tlumení pohybu součástí se strany zdvihátka

$m_r$  - redukovaná hmota soustavy

$y$  - zdvih ventilu

$h_r$  - zdvih redukované vačky / Lx větší než zdvih  
vačky v původním mechanismu/.

- $v_r$  - rychlosť redukované vačky  
 $a_r$  - zrychlení redukované vačky  
 $F_p$  - síla ventilové pružiny  
 $F_{po}$  - předpětí ventilové pružiny  
 $F_s$  - setrvačná síla  
 $R_l$  - tlumící síla ventilu  
 $R_o$  - tlumící síla zdvihátka  
 $F_d$  - síla, zpôsobená deformáciu mechanizmu  
 $h_v$  - ventilová vúle  
 $F_v$  - síla plynu pôsobiacich na ventil  
 $p_v$  - tlak plynu se strany välice  
 $p_p$  - tlak plynu se strany kanálu  
 $s_v$  - plocha talíře ventilu se strany välice  
 $s_p$  - plocha talíře ventilu se strany kanálu

Pri zanedbáni tihových sil jednotlivých súčasti musí podľa uvedeného obrázku platit:

$$F_p + F_s + R_l + F_v + R_o - F_d = 0 \quad /1.1/$$

Dosadením za jednotlivé sily do této rovnice dostaneme pohybovou rovnici soustavy:

$$F_{po} + k_1 y + m_r y'' + \rho_1 y' + F_v + \rho_o/v_r y' - k_o/h_r - h_v - y = 0$$

po úprave

$$m_r y'' + \rho_1 - \rho_o/y' + k_1 + k_o/y = -F_{po} - F_v + k_o/h_r - h_v - \rho_o v_r$$

/1.2/

Pro řešení rovnice /1.2/ vzhledem k y ji pře-  
piseme do tvaru:

$$y'' + \frac{\rho_1 - \rho_0}{m_r} y' + \frac{k_1 + k_0}{m_r} y = \frac{k_0}{m_r} / h_r - h_v - \frac{F_{po} + F_v}{k_0} / - \frac{\rho_0}{m_r} v_r$$

/1.3/

Označíme-li

$$\frac{k_1 + k_0}{m_r} = \Omega^2; \quad \frac{\rho_1 - \rho_0}{m_r} = R$$

dostaneme po dosazení:

$$y'' + R y' + \Omega^2 y = \frac{k_0}{m_r} / h_r - h_v - \frac{F_{po} + F_v}{k_0} / - \frac{\rho_0}{m_r} v_r$$

/1.4/

Kde R je tlumení soustavy a  $\Omega$  je kruhová frekvence vlastních kmitů netlumené soustavy.

Rovnice /1.4/ popisuje pohyb ventilu s ohledem na pružnost jednotlivých součástí a s ohledem na setrvačné síly.

Řešení této lineární diferenciální rovnice druhého řádu /nehomogenní/ je dánou součtem řešení homogenní rovnice a řešení partikulárního. Homogenní rovnice popisuje vlastní kmity soustavy. Partikulární řešení vyjadřuje pohyb, který koná redukovanou hmota působením vačky.

Partikulární řešení lze tedy předpokládat ve tvaru:

$$y_p = \frac{k_0}{m_r \Omega^2} / h_r - h_v - \frac{F_{po}}{k_0} / - \frac{\rho_0}{m_r \Omega^2} v_r$$

Řešení homogenní rovnice

$$y'' + R y' + \Omega^2 y = 0$$

má tvar

$$y = C_1 e^{q_1 t} + C_2 e^{q_2 t}$$

kde  $q_1, q_2$  jsou kořeny charakteristické rovnice

$$q^2 + R q + \Omega^2 = 0$$

odtud

$$q_{1,2} = -\frac{R}{2} \pm \sqrt{\frac{R^2}{4} - \Omega^2}$$

Konstanty  $C_1, C_2$  se určí z počátečních podmínek,  
na př.: pro  $t=0$  platí  $y = 0, y' = 0$

Tím je dáno řešení rovnice /1.3/ pro  $y$ , až  
na určení hodnot  $\rho_1, \rho_0$ . Tlumení lze určit pouze  
odhadem, podle zkušeností se stávajícími konstruk-  
cemi, nebo měřením na hotovém rozvodu. Proto se ob-  
vykle pro výpočet uvažuje náhradní soustava jako  
netlumená, čímž se značně zjednoduší a zrychlí vý-  
počet.

Pro  $\rho_1 = \rho_0 = 0$  přejde rovnice na tvar

$$y'' + \frac{k_1 + k_0}{m_r} y = \frac{k_0}{m_r} / h_r - h_v - \frac{F_{po} + F_v}{k_0} / \quad /1.5/$$

a rovnice /1.4/ přejde na tvar

$$y'' + \Omega^2 y = \frac{k_0}{m_r} / h_r - h_v - \frac{F_{po} + F_v}{k_0} / \quad /1.6/$$

Řešení této rovnice se opět rozpadá na řešení  
homogenní rovnice a partikulární řešení. Partikulár-  
ní řešení má tvar:

$$y_p = \frac{k_o}{m_r \Omega^2} / h_r - h_v - \frac{F_{po} + F_v}{k_o} /$$

Řešení homogenní rovnice

$$y'' + \Omega^2 y = 0$$

má tvar

$$y = A \sin \Omega t + B \cos \Omega t$$

Řešení rovnice /1.6/ bude tedy ve tvaru:

$$y = A \sin \Omega t + B \cos \Omega t + \frac{k_o}{m_r \Omega^2} / h_r - h_v - \frac{F_{po} + F_v}{k_o} /$$

/1.7/

Pro rychlosť a zrychlení ventilu zřejmě platí:

$$y' = \Omega A \cos \Omega t - \Omega B \sin \Omega t + \frac{k_o}{m_r \Omega^2} v_r \quad /1.8/$$

$$y'' = -\Omega^2 A \sin \Omega t - \Omega^2 B \cos \Omega t + \frac{k_o}{m_r \Omega^2} a_r \quad /1.9/$$

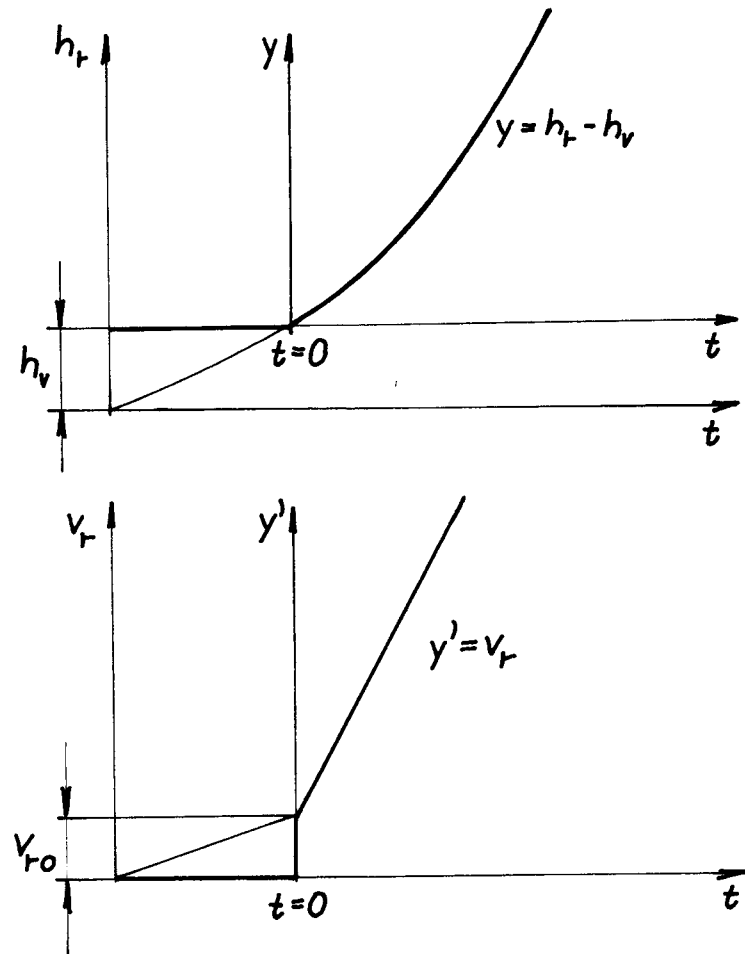
$$\text{kde } v_r = \frac{dh_r}{dt} \quad \text{a} \quad a_r = \frac{d^2 h_r}{dt^2}$$

Konstanty A a B nutno určit z počátečních podmínek, to znamená určit zdvih a rychlosť ventilu pro čas  $t=0$ , to je pro okamžik, kdy se ventil začíná pohybovat.

Podle obr.2 zřejmě platí: pro  $t=0$  je  $y=0$  a  $y'$  je rovno nějaké rychlosti mezi 0 a  $v_{ro}$ . Označme tuto rychlosť, se kterou se ventil počíná pohybovat, jako  $v$ . Tedy platí:

pro  $t=0$  je  $y=0$

$$y'=v$$



Obr. 2

Dosazením do /1.7/ dostaneme:

$$0 = B + \frac{k_o}{m_r \Omega^2} / h_r - h_v - \frac{F_{po} + F_v}{k_o} /$$

$$\text{Protože } h_r = h_v + \frac{F_{po} + F_v}{k_o} \text{ je } B = 0.$$

Z rovnice /1.8/ vyplývá:

$$v = A \Omega + \frac{k_o}{m_r \Omega^2} v_{ro}$$

z toho

$$A = \frac{v}{\Omega} - \frac{k_o}{m_r \Omega^3} v_{ro}$$

A je amplituda kmitů soustavy. Vidíme, že bude největší pro  $v=0$ . Výsledky získané z této podmínky se také nejvíce blíží skutečnosti. Tedy platí:

$$A = - \frac{k_o}{m_r \Omega^3} v_{ro}$$

Po dosazení za A a B do rovnic /1.7, 1.8, 1.9/ bude platit pro zdvih, rychlosť a zrychlení ventilu:

$$y = - \frac{k_o}{m_r \Omega^3} v_{ro} \sin \Omega t + \frac{k_o}{m_r \Omega^2} /h_r - h_v - \frac{F_{po} + F_v}{k_o}/ \quad /1.10/$$

$$y' = - \frac{k_o}{m_r \Omega^2} v_{ro} \cos \Omega t + \frac{k_o}{m_r \Omega^2} v_r \quad /1.11/$$

$$y'' = \frac{k_o}{m_r \Omega} v_{ro} \sin \Omega t + \frac{k_o}{m_r \Omega^2} a_r \quad /1.12/$$

Dosadíme-li do předchozích vztahů do výrazu

$$\frac{k_o}{m_r \Omega^2} \text{ za } \Omega^2 = \frac{k_1 + k_o}{m_r}, \text{ dostaneme:}$$

$$y = - \frac{k_o}{k_1 + k_o} \frac{v_{ro}}{\Omega} \sin \Omega t + \frac{k_o}{k_1 + k_o} /h_r - h_v - \frac{F_{po} + F_v}{k_o}/ \quad /1.13/$$

$$y' = - \frac{k_o}{k_1 + k_o} v_{ro} \cos \Omega t + \frac{k_o}{k_1 + k_o} v_r \quad /1.14/$$

$$y'' = \frac{k_o}{k_1 + k_o} \Omega v_{ro} \sin \Omega t + \frac{k_o}{k_1 + k_o} a_r \quad /1.15/$$

Z uvedených vztahů je vidět, že amplituda vlastních kmitů závisí na velikosti výrazu  $\frac{k_o}{k_1 + k_o} \frac{1}{\Omega}$ . Čím je tento výraz menší a čím je menší  $v_{ro}$ , tím menší bude amplituda. To znamená, že z hlediska kmitání soustavy je výhodné, je-li tuhý rozvod a měkká ventilová pružina.

#### 1.1.4 Narušení kinematické vazby

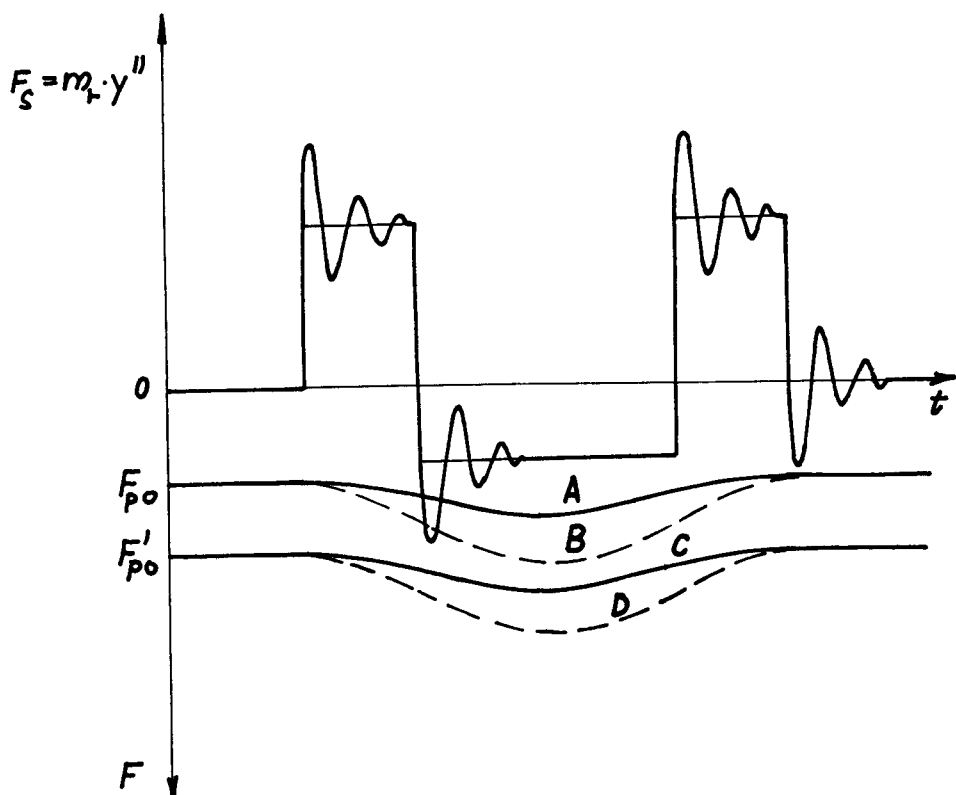
Při pohybu ventilu může dojít k porušení kinematické vazby mezi součástmi rozvodu tehdy, převýšili setrvačné síly sílu ventilové pružiny. K narušení vazby dochází obvykle v místech změny směru setrvačných sil a po dosednutí ventilu do sedla /odskočení ventilu/.

Podle obr.1 musí pro silový styk součástí plnit podmínka  $F > 0$ . Pro  $F \leq 0$  dochází k porušení silového styku, což se obvykle projeví hlučením rozvodu.

Podle rovnice /1.3/ platí pro sílu F vztah:

$$F = m_r y'' + (\rho_1 - \rho_o)y' + (k_1 + k_o)y + \rho_o v_r - k_o/h_r - h_v - \frac{F_{po} + F_v}{k_o} / .$$

Na obr.3 jsou znázorněny průběhy setrvačné síly a přitlačné síly pružiny.



obr.3

Čáry A a C představují měkčí pružinu pro dvě různá předpětí. Čáry B a D znázorňují průběh sil pro tužší pružinu, opět pro tatáž předpětí. Z obrázku je patrné, že je výhodnější použít pružiny s menší tuhostí, ale větším předpětím - čára C. Proti případu D se sníží maximální síla, ale pružina přesto překoná setrvačné síly.

Dojde-li k odskočení ventilu po dosednutí do ventilového sedla, je frekvence tohoto kmitání udána tuhostí ventilových pružin, hmotou ventilu a tlumením pohybu ventilu.

1.2.0 Dvouhmotové náhradní  
soustava

Pro lepsí shodu se skutečnosti se nahrazuje ventilový rozvod dvouhmotovou /případně i vícehmotovou/ náhradní soustavou. Jedna z možností je uvedena na obr.4. Tento systém se dře popsat soustavou diferenciálních rovnic. Početní řešení je velmi komplikované a proto se podobných dynamických modelů používá k řešení pohybu ventilu na analogových počítačích.

Použité označení:

$m_1$  - redukovaná hmota zdvihátka a vahadla

$m_2$  - hmota ventilu /včetně 1/3 hmoty ventilových pružin/.

$k_1$  - tuhost zdvihátka a zvedací tyčky redukovaná na pohyb ventilu.

$k_2$  - tuhost vahadla a ventilu

$k_3$  - tuhost ventilového sedla

$k_4$  - tuhost ventilových pružin

$\rho_1$  - tlumení zdvihátka

$\rho_2$  - tlumení vahadla a ventilu

$\rho_3$  - tlumení ventilového sedla

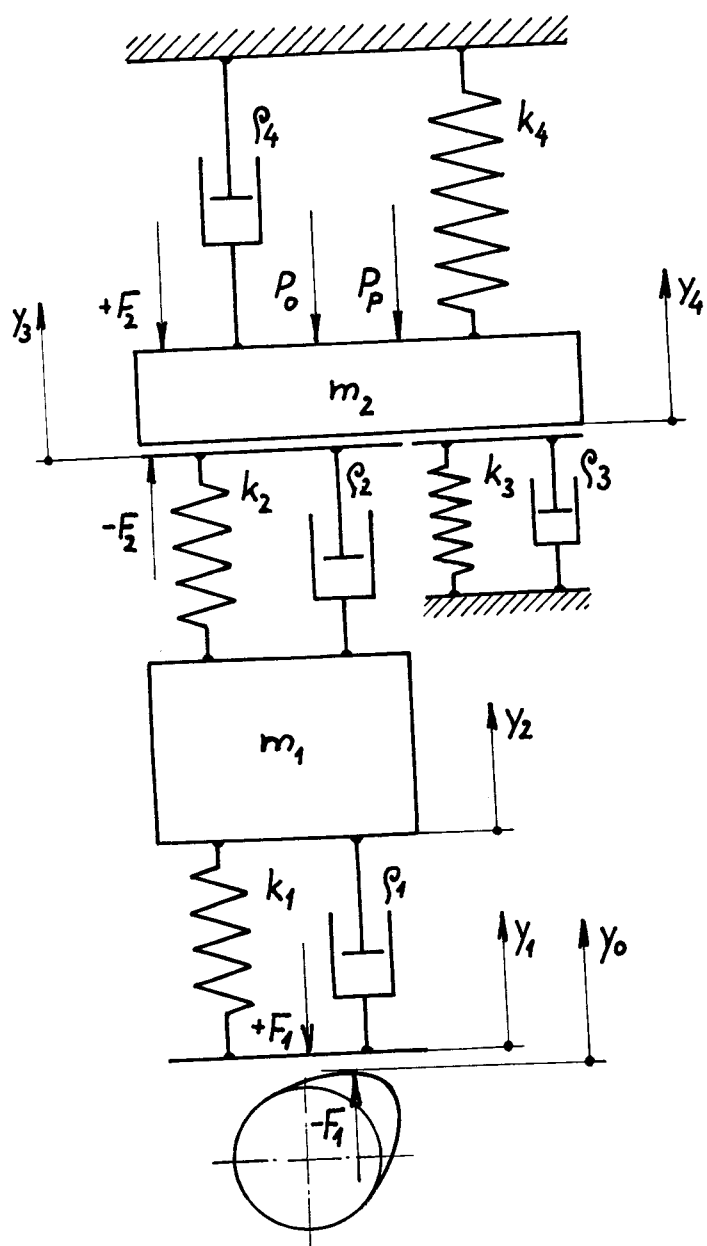
$\rho_4$  - tlumení a pasivní odpory ve vedení ventilu

$P_p$  - síla od přetlaku ve válci

$P_0$  - predpětí ventilových pružin

$F_1$  - síla mezi vačkou a zdvihátkem

$F_2$  - síla mezi vahadlem a ventilem



Obr. 4

Tento dynamický model lze popsat soustavou  
diferenciálních rovnic:

$$m_2 \ddot{y}_4 + \varphi_4 \dot{y}_4 + k_4 y_4 + k_3 y_4 + \varphi_3 \dot{y}_4 + P_p + P_o + F_2 = 0$$

$$F_2 + k_2 /y_2 - y_3/ + /y'_2 - y'_3/ \varphi_2 = 0$$

$$F_1 + k_1 /y_1 - y_2/ + /y'_1 - y'_2/ \varphi_1 = 0$$

$$m_1 \ddot{y}_1 - F_2 + F_1 = 0$$

Při modelování podobných náhradních dynamických soustav je opět zdrojem největších odchylek od skutečnosti určení tukostí jednotlivých součástí a tlumení jejich pohybu.

### 1.3.0. Harmonické analýza po- hybu ventilu

Použité označení:

a,  $\ddot{y}_c$  - zrychlení na vačce

K - algebraický součet koeficientů harmonických

$$K = L - M + N - \dots$$

L,M,N,- koeficienty harmonických

$y_c$  - zdvih ventilu

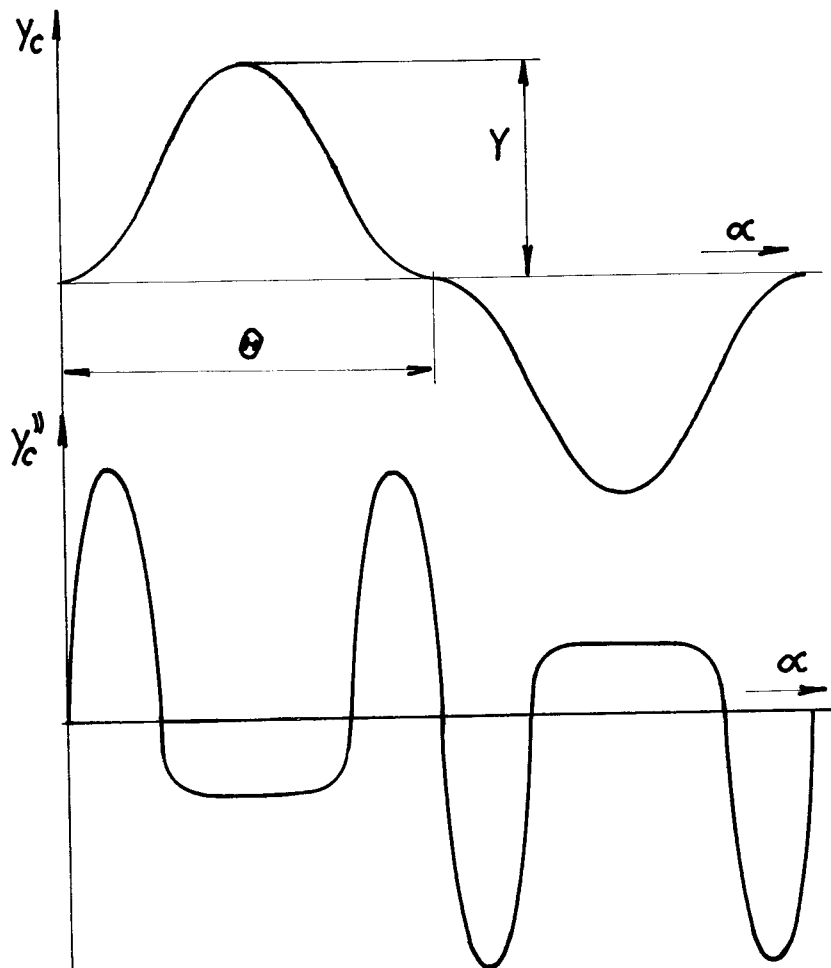
$y_v$  - ekvivalentní dynamický zdvih ventilu, redukován na vačku

$\gamma$  - celkový zdvih ventilu

$\alpha$  - úhel pootočení vačky

$\theta$  - úhel 1/2 cyklu

$\omega$  - vlastní frekvence kmitů ventilového rozvodu



obr.5

Pro harmonickou analýzu libovolné křivky je nutno vybrat tu část křivky, kterou lze považovat za uzavřený cykl. Na obr.5 jsou křivky zdvihu a zrychlení ventila.

Pro výpočet je nutno převést křivky na nekonečné řady ve tvaru:

$$y_c = \frac{Y}{K} \left[ L \sin \frac{9\pi\alpha}{2\theta} + M \sin \frac{3\pi\alpha}{2\theta} + N \sin \frac{5\pi\alpha}{2\theta} + \dots \right]$$

$$a = - \frac{Y}{K} \left( \frac{\pi}{\theta} \right)^2 \left[ L \sin \frac{3\pi\alpha}{2\theta} + 9M \sin \frac{5\pi\alpha}{2\theta} + 25N \sin \frac{7\pi\alpha}{2\theta} + \dots \right]$$

/1.17/

Pro analýzu práce ventilového mechanismu stačí zkoumat zrychlení pouze při zdvihu ventili, protože hodnoty zrychlení při zavírání ventili a na převrácené části křivky budou analogické. Hodnoty, odměřované po  $2^\circ$  pootočení vačky, jsou podrobeny harmonické analýze. Analýzu je možno provést různými způsoby. Nejdůležitější je mít dostatečný počet hodnot pro získání potřebného počtu harmonických. Jak je uvedeno v /I/, pro popis většiny používaných průběhů zrychlení postačí 24 lichých sinusových členů, to znamená 47 harmonických.

Nejčastěji se vyskytující nedostatky v práci ventili jsou způsobeny pružností rozvodu. Pro správnou práci při vysokých rychlostech je nutné uvažovat dynamické deformace a kmitání systému. To vyžaduje řešení diferenciálních rovnic. Uvedená forma řešení je vhodná pro výpočet na samočinných počítačích.

Nejjednodušší diferenciální rovnice, popisující zdvih ventili, má tvar:

$$\ddot{y}_v = \omega^2 / y_c - y_v / \quad /1.18/$$

To platí pro jeden stupeň volnosti pohybu ventili a při zanedbání tlumení.

Dosadíme-li z /1.16/ do /1.18/, dostaneme po úpravě:

$$y_v'' + \omega^2 y_v = \omega^2 \frac{Y}{K} \left[ L \sin \frac{\pi\alpha}{2\theta} + M \sin \frac{3\pi\alpha}{2\theta} + \dots \right] \quad /1.19/$$

Řešení této rovnice se skládá ze dvou částí. První část má tvar:

$$y_{v1} = C_1 \cos \omega\alpha + C_2 \sin \omega\alpha \quad /1.20/$$

Druhou část řešení /partikulární/ můžeme psát ve tvaru:

$$y_{v2} = A_0 + A_1 \sin \frac{\pi\alpha}{2\theta} + A_2 \sin \frac{3\pi\alpha}{2\theta} + A_3 \sin \frac{5\pi\alpha}{2\theta} + \dots$$

/1.21/

Dosadíme-li  $y_{v2}$  do /1.19/, dostaneme po úpravě:

$$\begin{aligned} & -A_1 \frac{\pi}{2\theta} \omega^2 \sin \frac{\pi\alpha}{2\theta} - 9A_2 \frac{\pi}{2\theta} \omega^2 \sin \frac{3\pi\alpha}{2\theta} - \dots + \\ & + A_0 \omega^2 + A_1 \omega^2 \sin \frac{\pi\alpha}{2\theta} + A_2 \omega^2 \sin \frac{3\pi\alpha}{2\theta} + \dots = \\ & = \frac{\omega^2 Y_L}{K} \sin \frac{\pi\alpha}{2\theta} + \frac{\omega^2 Y_M}{K} \sin \frac{3\pi\alpha}{2\theta} + \dots \end{aligned} \quad /1.22/$$

Porovnáním odpovídajících si členů na levé a pravé straně rovnice /1.22/ dostaneme hodnoty koeficientů A :

$$A_0 = 0$$

$$A_1 = \frac{\omega^2 Y_L}{K [\omega^2 - (\pi/2\theta)^2]}$$

$$A_2 = \frac{\omega^2 Y_M}{K[\omega^2 - 9(\pi/2 \theta)^2]}$$

$$A_3 = \frac{\omega^2 Y_N}{K[\omega^2 - 25(\pi/2 \theta)^2]}$$

$$A_4 = \dots$$

/1.23/

Konečný výraz pro  $y_v$  dostaneme součtem

$$y_v = y_{v1} + y_{v2} = C_1 \cos \omega \alpha + C_2 \sin \omega \alpha +$$

$$+ A_1 \sin \frac{\pi \alpha}{2 \theta} + A_2 \sin \frac{3\pi \alpha}{2 \theta} + A_3 \sin \frac{5\pi \alpha}{2 \theta} + \dots$$

/1.24/

Pro zrychlení ventilu zřejmě platí:

$$y_v'' = -\omega^2 C_1 \cos \omega \alpha - \omega^2 C_2 \sin \omega \alpha - A_1 \left( \frac{\pi L}{2 \theta} \right)^2 \sin \frac{9\pi \alpha}{2 \theta} -$$

$$- 9A_2 \left( \frac{\pi L}{2 \theta} \right)^2 \sin \frac{3\pi \alpha}{2 \theta} - 25A_3 \left( \frac{\pi L}{2 \theta} \right)^2 \sin \frac{5\pi \alpha}{2 \theta} - \dots$$

/1.25/

Konstanty  $C_1$  a  $C_2$  je nutno určit z počátečních podmínek. Volíme: pro  $t=0$  je  $y_v = 0$   $y_v' = v_r$

V tomto případě je  $C_1 = 0$  a

$$C_2 = \frac{v_r}{\omega} - \frac{\omega Y \pi}{K 2 \theta} \left[ \frac{L}{\omega^2 - (\pi/2 \theta)^2} + \frac{3M}{\omega^2 - 9(\pi/2 \theta)^2} + \dots \right]$$

To znamená, že dynamický zdvih ventilu i jeho zrychlení můžeme vypočítat z rovnic /1.24, 1.25/, které obsahují známé, nebo změřitelné veličiny.

Pro zajištění přesnosti výpočtu je nutno určit frekvenci kmitů  $\omega$  měřením na motoru.

1.4.0 Vačky s plynulou změnou zrychlení.

Snaha zlepšit chod ventilu a snížit namáhání ventilového rozvodu vedla k novému způsobu tvarování vaček. Aby byl odstraněn rez, způsobený u harmonických vaček nespojitostí průběhu zrychlení, je navrhován plynulý průběh zrychlení. Zdvih vačky a zrychlení na vačce je nejčastěji popisováno polynomem tak, jak je uvedeno v /II/.

Aby byla snížena rychlosť dosedání ventilu do sedla, provádí se nesoumérné tvarování vačky. Změna zrychlení na uzavírací straně vačky je pomalejší, a ventil dosedá menší rychlosťí. Tím je snížena možnost odskakování ventilu po dosednutí, což je důležité pro těsnost spalovacího prostoru a pro přesnost časování ventilu.

Výpočet vačky s plynulou změnou zrychlení se obvykle provádí na samočinných počítačích.

1.5.0 Zhadnocení jednotlivých výpočtových metod

S rostoucími otáčkami roste také požadovaná přesnost výpočtu. Proto je nutno provádět výpočty na samočinných číslicových nebo analogových počítačích.

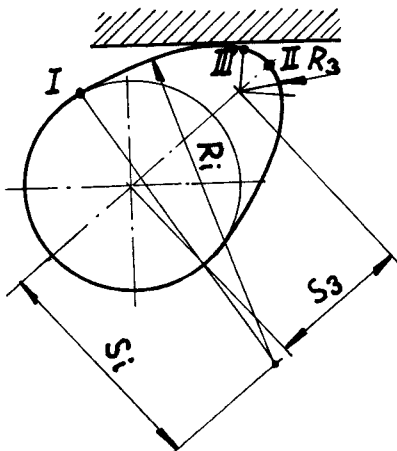
Zvláště výpočet na analogových počítačích se jeví jako velmi vhodný. Je možno použít složitých náhradních dynamických soustav. Dají se zde snadno a

rychle měnit různé parametry a tím zjistit jejich vliv na pohyb ventilu. Snadno se dají vyzkoušet různé konstrukční úpravy, které mají zlepšit chod ventilu. Tím odpadne zdlouhavé zkoušení na funkčním vzorku.

Výpočet rozvodového mechanismu jako jednohmotové netlumené soustavy, tak jak byl proveden v této diplomní práci, není pro rychloběžné moderní motory postačující.

#### 2.6.0 KINEMATIKA ROZVODOVÉHO MECHANISMU S HARMONICKOU VAČKOU

Mechanismem s harmonickou vačkou rozumíme mechanismus, jehož vačka je tvořena kruhovými oblouky a dosedá na ní ploché zdvižtko. Tato vačka je nakreslena na obr.6.



obr.6

Mezi body I a III je zdvih:

$$h = r_i - s_i \cos \alpha - r_z \quad /2.1/$$

rychlosť:

$$v = \frac{dh}{dt} = \omega s_i \sin \alpha \quad /2.2/$$

zrychlení :

$$a = \frac{d^2 h}{dt^2} = \omega^2 s_i \cos \alpha \quad /2.3/$$

kde  $\omega = \frac{d\alpha}{dt}$  a  $\alpha$  je úhel pootočení vačkového hřídele.

Mezi body II a III je zdvih :

$$h = s_3 \cos \alpha + r_3 - r_z \quad /2.4/$$

rychlosť:

$$v = -\omega s_3 \sin \alpha \quad /2.5/$$

zrychlení:

$$a = \omega^2 s_3 \cos \alpha \quad /2.6/$$

### 3.0.0 ROZVODOVÝ MECHANISMUS MOTORU M 630

#### 3.1.0 T e c h n i c k a d a t a :

druh rozvodu: OHV - s vysoko uloženým  
vačkovým hřídelem

maxim. zdvih vačky: 7 mm

maxim. zdvih sacího ventilu: 13,16 mm

plocha sacího ventilu: 2 550 mm<sup>2</sup>

poměr ramen vahadla: 1,88

ventilová vůle: 0,30 mm

### 3.2.0 Časování ventilů

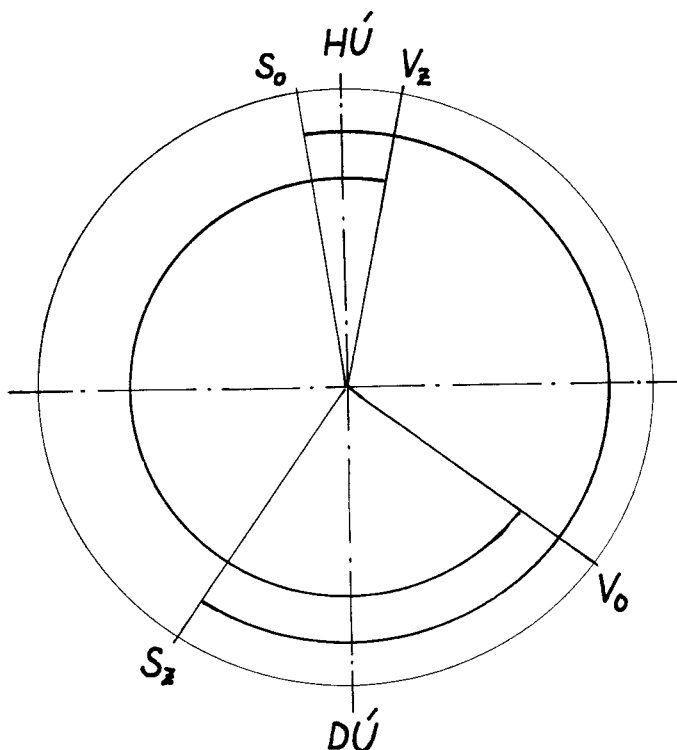
Na obr.7 je kruhový diagram časování ventilů  
motoru M 630.

$S_o$        $3^\circ$  pred HÚ

$S_z$        $41^\circ$  za DÚ

$V_o$        $53^\circ$  pred DÚ

$V_z$        $7^\circ$  za HÚ



obr.7

### 3.3.0 Tvar vačky a kinematika rozvodu

Tvar vačky rozvodu motoru M 630 je nakreslen a okótovan v příloze 1.

Bok vačky je tvořen dvěma kruhovými oblouky, napojenými na základní kružnici a vrcholový oblouk.

Hodnoty zdvihu, rychlosti a zrychlení vačky i redukované vačky, pro otáčky odpovídající maximálnímu výkonu motoru, jsou uvedeny v tab. I a tab. II ve / III /.

Abychom mohli porovnat naměřené hodnoty rychlosti, zdvihu a zrychlení s vypočtem, musíme spočítat maximální rychlosť a zrychlení pro různý počet otáček vačkového hřídele.

Maximální rychlosť spočítáme podle vztahu /2.2/, dosadíme-li:

$$\alpha = 45^{\circ}03'25'' \quad S_3 = 18 \text{ mm}$$

$$v_{\max} = \omega S_3 \sin \alpha = \omega 18 \cdot 10^{-3} \cdot 0,70783 = \\ = \omega 0,012741 \text{ m/sec.}$$

Maximální zrychlení spočítáme ze vztahu:

$$a_{\max} = \omega^2 S_2 \cos \gamma$$

kde podle přílohy 1.:  $S_2 = 27,0406 \text{ mm}$

$$\gamma = 1^{\circ}43'$$

to odpovídá

$$\alpha = 56^{\circ}15'$$

$$a_{\max} = \omega^2 57,04 \cdot 10^{-3} \cdot 0,99954 = \omega^2 5,69138 \cdot 10^{-2} \text{ m/sec}^2$$

Hodnoty maximálních rychlostí a zrychlení redukované vačky vypočítáme ze vztahu:

$$v_{r\max} = \omega 1,88 \cdot 1,2741 \cdot 10^{-2} = \omega 2,3953 \cdot 10^{-2}$$

m/sec

$$a_{r\max} = \omega^2 1,88 \cdot 5,69138 \cdot 10^{-2} = \omega^2 10,6998 \cdot 10^{-2}$$

m/sec<sup>2</sup>

Hodnoty  $v_{r\max}$  a  $a_{r\max}$  jsou uvedeny v tab.1.

n ot/min	rad/sec	$v_{r\max}$ m/sec	$a_{r\max}$ m/sec <sup>2</sup>	$v_{ro}$ m/sec
500	52,4	1,254	293	0,1236
600	62,8	1,505	422	0,148
700	73,4	1,758	576	0,173
800	83,8	2,01	750	0,198
900	94,2	2,255	946	0,226
1 000	104,8	2,51	1 176	0,247
1 100	115,2	2,76	1 418	0,272

tab.1

3.4.0 Dynamický výpočet rozvodu vodového mechanismu

3.4.1. Výpočet tuhosti ventilových pružin

Tuhost pružiny je dána vztahem:

$$k = \frac{G d^4}{8 i D^3}$$

kde  $G = 8\,300 \text{ kp/mm}^2$  je modul pružnosti ve smyku

$d$  průměr drátu

$D$  střední průměr pružiny

$i$  počet závitů

Ventil motoru M 630 je držen 2 pružinami s různými tuhostmi. Výsledná tuhost je dána jejich součtem:  $k_1 = k' + k''$

1. pružina:  $d = 2,8 \text{ mm}$

$D = 28 \text{ mm}$

$i = 6,5$

$$k' = \frac{8\,300 \cdot 2,8^4}{8 \cdot 6,5 \cdot 28^3} = 0,447 \text{ kp/mm}$$

2. pružina:  $d = 4 \text{ mm}$

$D = 37 \text{ mm}$

$i = 4,5$

$$k'' = \frac{8\,300 \cdot 4^4}{8 \cdot 4,5 \cdot 37^3} = 1,210 \text{ kp/mm}$$

Výsledná tuhost:

$$k_1 = k' + k'' = 0,447 + 1,210 = 1,657 \text{ kp/mm}$$

### 3.4.2 Výpočet předpětí pružin

1. pružina: délka volné pružiny 62,4 mm

délka zamontované pružiny 39,0 mm

$$\Delta l_1 = 23,4 \text{ mm}$$

Síla předpětí:

$$F_1 = \Delta l_1 k' = 23,4 \cdot 0,447 = 10,4598 \text{ kp}$$

2. pružina: délka volné pružiny 58,2 mm

délka zamontované pružiny 41,0 mm

$$\Delta l_2 = 17,2 \text{ mm}$$

Síla předpětí:

$$F_2 = \Delta l_2 k'' = 17,2 \cdot 1,21 = 20,812 \text{ kp}$$

Celková síla předpětí:

$$F_{po} = F_1 + F_2 = 10,4598 + 20,812 = 31,27 \text{ kp}$$

### 3.4.3 Určení tuhosti ostatních částí rozvodu

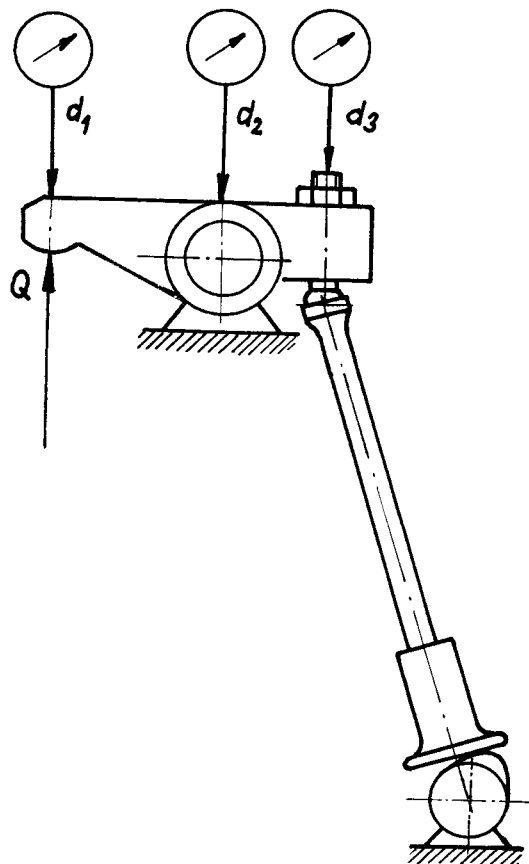
Jelikož presný výpočet tuhosti jednotlivých součástí je obtížný, byla tuhost rozvodu určena experimentálně, metodou popsanou v /IV/. Podle obr.8 byl rozvod staticky zatížen, a změřeny deformace  $d_1$ ,  $d_2$ ,  $d_3$ .

Pro  $Q = 92,5 \text{ kp}$ ,  $L = \frac{a}{b} = 1,88$

je  $d_1 = 0,175 \text{ mm}$

$d_2 = 0,015 \text{ mm}$

$d_3 = 0,043 \text{ mm}$



obr.8

Celková tuhost rozvodového mechanismu:

$$k_o = \frac{Q}{d_1} = \frac{92,5}{0,175} = 528,57 \text{ kp/mm}$$

Tuhost vačkového hřídele a zdvihátka:

$$k' = \frac{Q \cdot L}{d_3} = \frac{92,5 \cdot 1,88}{0,043} = 4\ 046,51 \text{ kp/mm}$$

Tuhost součástí upevňujících vahadlo a tuhost čepu vahadla:

$$k'' = \frac{Q / 1+L}{d_2} = \frac{92,5 / 1+ 1,88}{0,015} = 17\ 760,01 \text{ kp/mm}$$

Tuhost vahadla

$$k''' = \frac{Q}{d_1 - d_2 / 1+L - d_3 L} = 1\ 815,15 \text{ kp/mm}$$

Správnost výpočtu a měření můžeme zkontrolovat podle vztahu:

$$\frac{1}{k_0} = \frac{1}{k} + \frac{(L+l)^2}{k'} + \frac{L^2}{k''}$$

$$1,89 \cdot 10^{-3} \pm 0,552 \cdot 10^{-3} + 0,468 \cdot 10^{-3} + 0,874 \cdot 10^{-3} = \\ = 1,894 \cdot 10^{-3}$$

Bylo dosaženo vyhovující přesnosti výpočtu.

#### 3.4.4 Stanovení redukovaných hmot součástí mechanismu

##### 1/ Redukovaná hmota ventilu:

$$\text{hmota ventilu} \quad m_v = 0,0255 \text{ kp sec}^2/\text{m}$$

$$\text{hmota talířku a zámku} \quad m_{tz} = 0,00428 \text{ kp sec}^2/\text{m}$$

$$\text{hmota ventilových pružin} \quad m_p = 0,0106 \text{ kp sec}^2/\text{m}$$

$$m_{r1} = m_v + m_{tz} + \frac{1}{3}m_p = 0,03331 \text{ kp sec}^2/\text{m}$$

##### 2/ Redukovaná hmota vahadla:

$$\text{moment setrvačnosti vahadla} \quad I_o = 0,1271 \text{ kpm sec}^2$$

$$\text{rameno vahadla} \quad a = 47 \text{ mm}$$

$$m_{r2} = \frac{I_o}{a^2} = 0,00576 \text{ kp sec}^2/\text{m}$$

##### 3/ Redukovaná hmota tyčky:

$$\text{hmota tyčky} \quad m_t = 0,0053 \text{ kp sec}^2/\text{m}$$

$$m_{r3} = \frac{m_t}{3L^2} = 0,0005 \text{ kp sec}^2/\text{m}$$

4/ Redukovaná hmota zdvihátka

$$\text{hmota zdvihátka} \quad m_z = 0,0141 \text{ kp sec}^2/\text{m}$$

$$m_{r4} = \frac{m_z}{L^2} = 0,004 \text{ kp sec}^2/\text{m}$$

Celková redukovaná hmota soustavy:

$$m_r = m_{rl} + m_{r2} + m_{r3} + m_{r4} = 0,04357 \text{ kp sec}^2/\text{m} = \\ = 0,00004357 \text{ kp sec}^2/\text{mm}$$

Hodnoty pro výpočet redukované hmoty vahadla byly převzaty z /III/. Ostatní hmoty byly určeny vážením součástí.

3.4.5 Řešení pohybu ventilu

Vzhledem k výpočtovým možnostem byl pohyb ventilu počítán jako pohyb redukované hmoty v jednohmotové netlumené náhradní soustavě.

Hodnoty zdvihu, rychlosti a zrychlení lze vypočítat ze vztahů /1.13, 1.14, 1.15/.

Kruhová frekvence vlastních kmitů soustavy:

$$\Omega = \sqrt{\frac{k_0 + k_1}{m_r}} = 3488,68 \text{ rad/sec}$$

Amplituda kmitu zdvihu ventilu:

$$A = \frac{k_0}{k_0 + k_1} \frac{v_{ro}}{\Omega} = 0,286 \cdot 10^{-3} \cdot v_{ro}$$

Amplituda kmitání rychlosti ventilu

$$A' = \frac{k_0}{k_0 + k_1} v_{ro} = 0,99687 \cdot v_{ro}$$

Amplituda pro kmitání zrychlení:

$$A'' = \frac{k_o}{k_o + k_l} \Omega v_{ro} = 3475 \cdot v_{ro}$$

Vztahy /1.13, 1.14, 1.15/ po dosazení přejdou na tvar:

$$y = -0,286 \cdot 10^{-3} v_{ro} \sin \Omega t + 0,99687 /h_r - 0,3604/ \quad /3.1/$$

$$y' = -0,99678 v_{ro} \cos \Omega t + 0,99687 v_r \quad /3.2/$$

$$\ddot{y} = 3475 v_{ro} \sin \Omega t + 0,99687 a_r \quad /3.3/$$

Hodnoty  $v_{ro}$ ,  $v_r$ ,  $a_r$  jsou pro otáčky, při kterých byl výpočet porovnáván s měřením, uvedeny v tab.1.

Amplitudy kmitů  $A$ ,  $A'$ ,  $A''$  jsou pro tytéž otáčky uvedeny v tab.2.

n ot/min	A mm	$A'$ m/sec	$A''$ $m/sec^2$
500	0,0354	0,121	429
600	0,0424	0,1475	514
700	0,0495	0,1725	602
800	0,0566	0,1973	688
900	0,0647	0,225	786
1 000	0,0707	0,246	858
1 100	0,0778	0,271	946

tab.2

Rovnice /3.1, 3.2, 3.3/ lze psát ve tvaru:

$$y = - A \sin \Omega t + y_s$$

$$y' = - A' \cos \Omega t + y'_s$$

$$y'' = - A'' \sin \Omega t + y''_s$$

Hodnoty  $y'_s = v_s$ ,  $y''_s = a_s$  jsou uvedeny v tab.3.

$y_s = h_s = 12,75$  mm pro  $h_v = 0,30$  mm a nezávisí na otáčkách.

n ot/min	v <sub>s</sub> m/sec	a <sub>s</sub> m/sec <sup>2</sup>
500	1,250	292
600	1,500	421
700	1,750	575
800	2,005	748
900	2,245	944
1000	2,500	1170
1100	2,750	1412

tab.3

#### 4.0.0 MĚŘENÍ NA ROZVODOVÉM MECHANISMU MOTORU M630

Aby bylo možno porovnat výsledky početního řešení pohybu ventilu, se skutečností, bylo provedeno měření zdvihu, rychlosti a zrychlení ventilu na skutečném rozvodovém mechanismu.

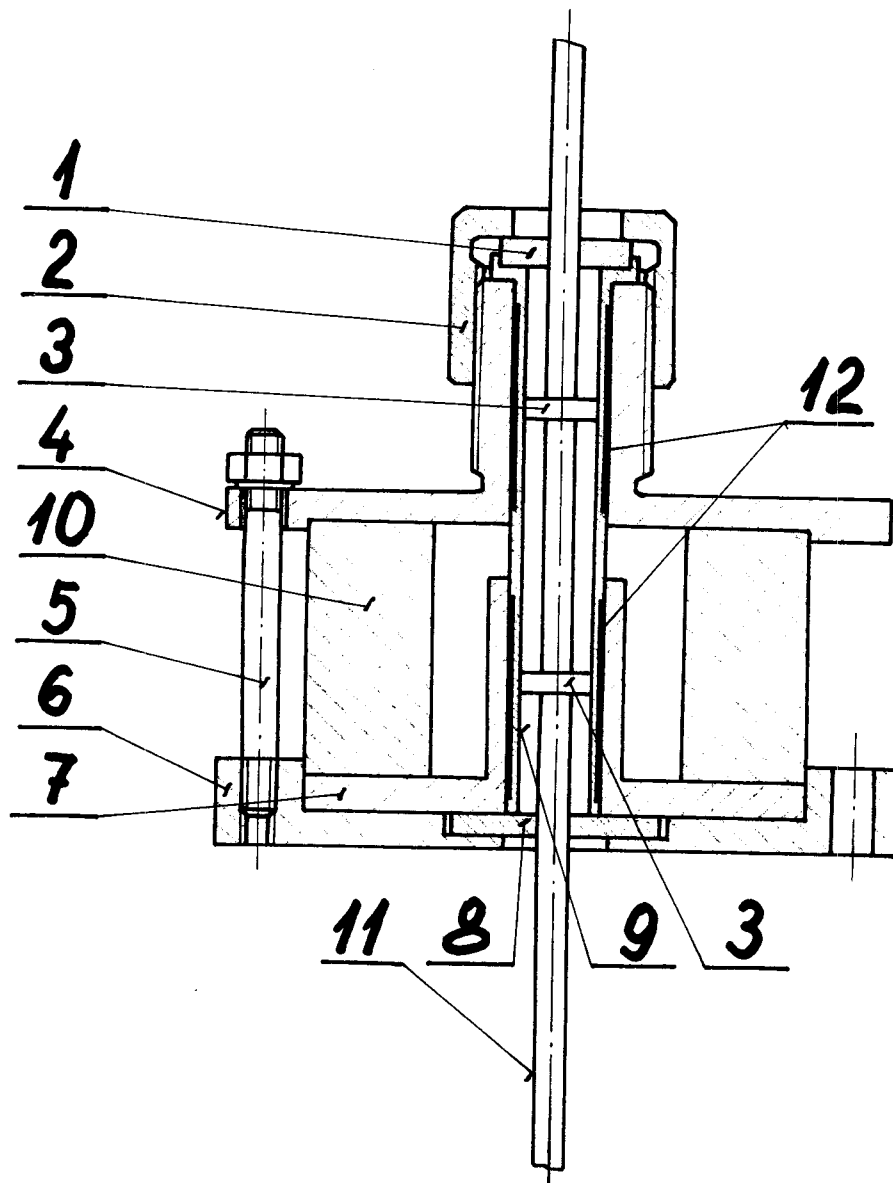
#### 4.1.0 Po p i s m ě ř í c í m e t o d y

K záznamu zdvihu ventilu se obvykle používá můstkových metod, kde zdvih je snímán induktivním nebo kapacitním snímačem. Zásadní nevýhodou této metody je určité frekvenční omezení. Aby bylo dosaženo vyhovující přesnosti měření, musí být napájecí kmitočet můstku alespoň 5x větší než frekvence, kterou chceme zaznamenat.

Jelikož motor M 630 má vysoko uložený vačkový hřídel svého OHV rozvodu, to znamená, že má krátkou a tuhou zvedací tyčku, byla očekávána vysoká vlastní frekvence kmitů rozvodového mechanismu. Snaha vyhnout se potížím se záznamem této vysoké frekvence, vedla k volbě použité měřící metody.

Podle /V/ byl zkonstruován a vyroben elektrodynamický snímač, na jehož výstupu dostáváme napětí úměrné rychlosti ventilu. Řez tímto snímačem je na obrázku 9.

Základní částí snímače je prstencový permanentní magnet 10. K němu jsou přiloženy pólové nástavce 4 a 7. Do pólových nástavců je zasunuta



Obr.9

kostra 9, na níž jsou navinuty cívky 12. Uvnitř cívek se pohybují kroužky 3, upevněné na tyčce 11, která je vedena silikonovými ložisky 1 a 8. Kostra cívek je přitažena k celku převlečnou maticí 2. Mosazné šrouby 5 stahují snimač se základní deskou 6. Tyčka 11 je třmenem připojena na talířek ventilové pružiny.

Magnetický tok mezi pólovými nástavci je uzavřen přes kroužky a tyčku. Pohybují-li se ventil, pohybuje se i tyčka a mění se velikost magnetického toku v jednotlivých závitech cívek. V cívách se indukuje napětí úměrné této změně, toznamená, úměrné také rychlosti pohybu. Platí :

$$u \approx - \frac{d\Phi}{dt} \approx \frac{dh}{dt} = v$$

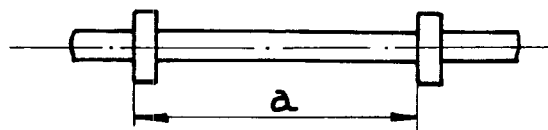
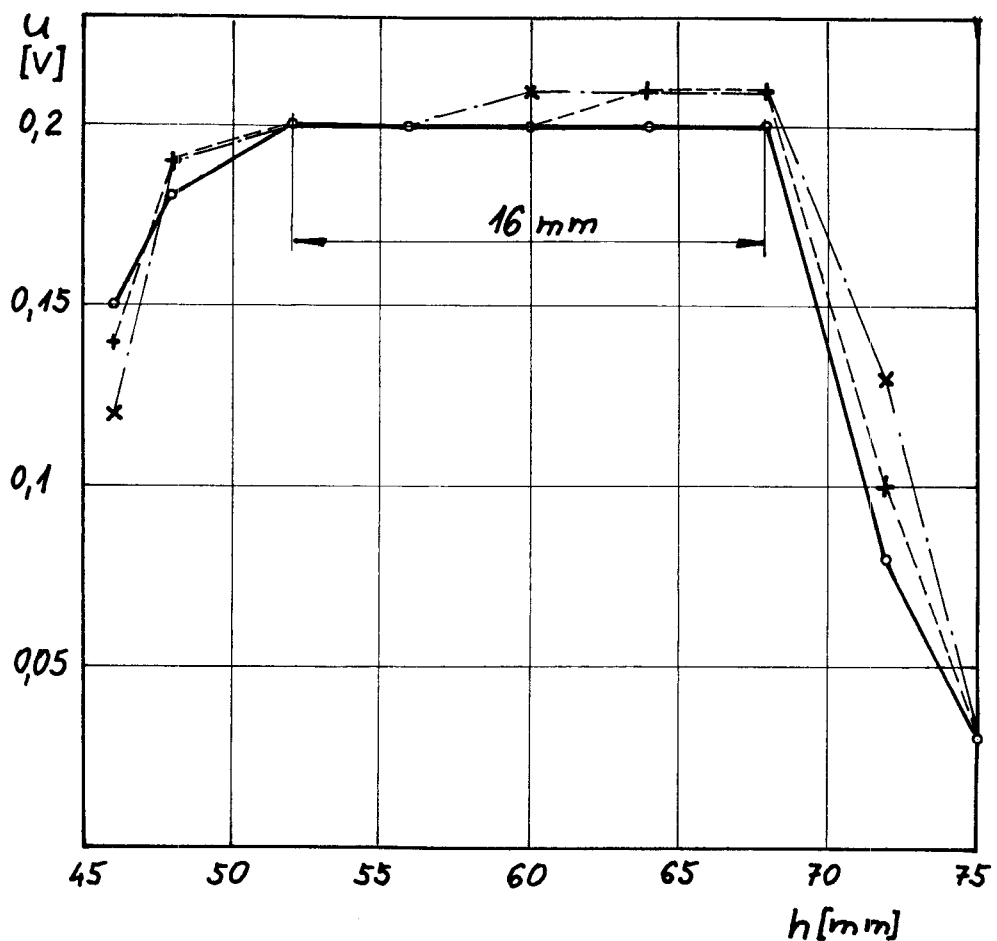
Jelikož cívky jsou na různých pólech magnetu, změna magnetického toku by v nich indukovala opačné napětí. Proto jsou cívky vinutý opačným směrem a zapojeny v serii. Jejich napětí se potom sčítá.

Každá cívka má přibližně 1 200 závitů měděného drátu  $\varnothing 0,05$  mm, navinutého ve 3 vrstvách. Celkový stejnosměrný odpor snímače je přibližně 650 Ohm. Délka cívek v zájmu linearity je dvojnásobná, než požadovaný zdvih.

Linearity snímače byla kontrolována na zkuschbním zařízení, jež umožňovalo posouvat tyčku podél cívek. V každém bodě pak tyčka s kroužky kmitala s amplitudou 2 mm a konstantní frekvencí.

Napětí snímače bylo měřeno elektronkovým voltmetrem.

Výsledky tohoto měření jsou na obr.10.



$a = 38\text{ mm}$

$a = 40\text{ mm}$

$a = 42\text{ mm}$

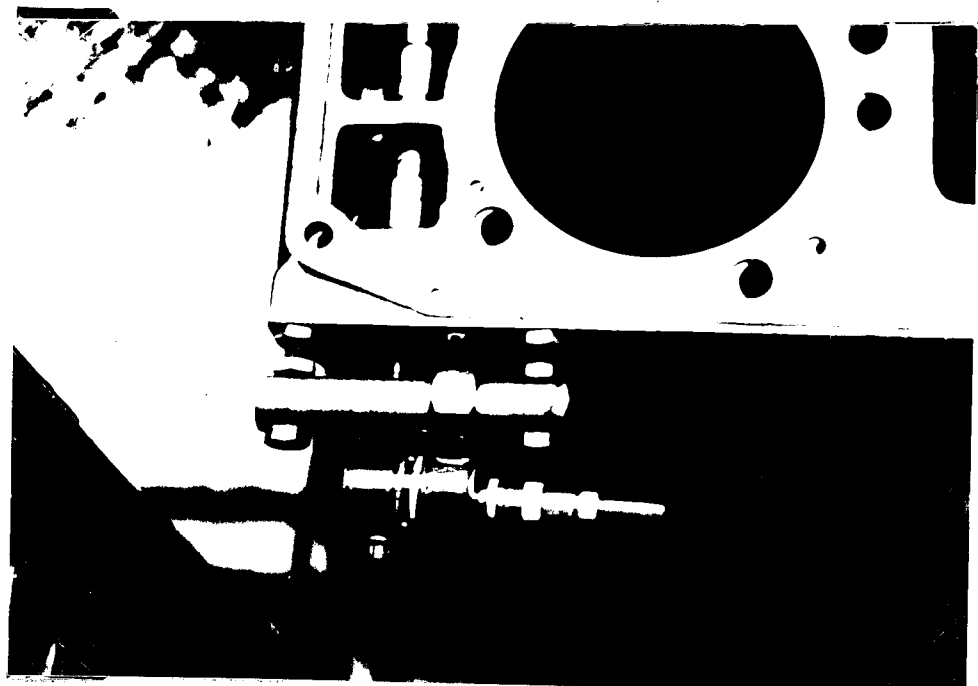
obr.10

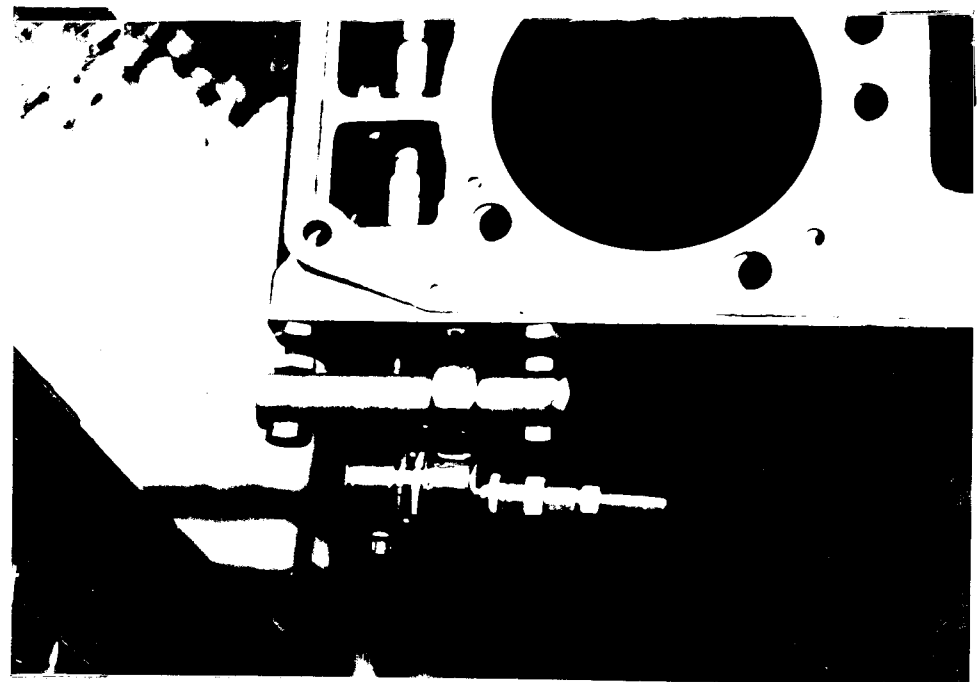
Na svislou osu je vynesenno napětí, na vodorovnou posunutí středu kmitání tyčky. To bylo odměřováno jako posunutí horního konce tyčky od ložiska 1. Změnou vzdálenosti kotoučků bylo dosaženo lineárního průběhu v požadovaném rozsahu. K míře 16 mm nutno přičíst ještě 4 mm celkového zdvihu tyčky. Požadována je linearita v délce 14 mm - vzhledem ke zdvihu sacího ventilu  $h_{max} = 13,16$  mm.

Jak již bylo uvedeno, snímač poskytuje napětí úměrné rychlosti ventilu. Aby bylo možno sledovat také průběh zdvihu a zrychlení, je nutno toto napětí integrovat, respektivě derivovat. K tomuto účelu bylo použito pasivních RC členů, přepojovaných přepinačem funkcí. Napětí z přepinače funkcí je vedeno na stridavy zesilovač a odtud na vertikální vychylovací destičky osciloskopu.

Aby bylo možno na obrazovce osciloskopu sledovat průběh napětí v závislosti na úhlu potočení vačkového hřídele, byl použit snímač časové základny, obr.11. Je napojen na zadní konec vačkového hřídele. Pomocí můstku a zesilovače dostaneme pro vodorovné vychylovací destičky osciloskopu pilové napětí, jehož okamžitá hodnota je úměrná úhlu potočení vačkového hřídele.

Na obr.12 je rozebraný a na obr.13 sestavený snímač.

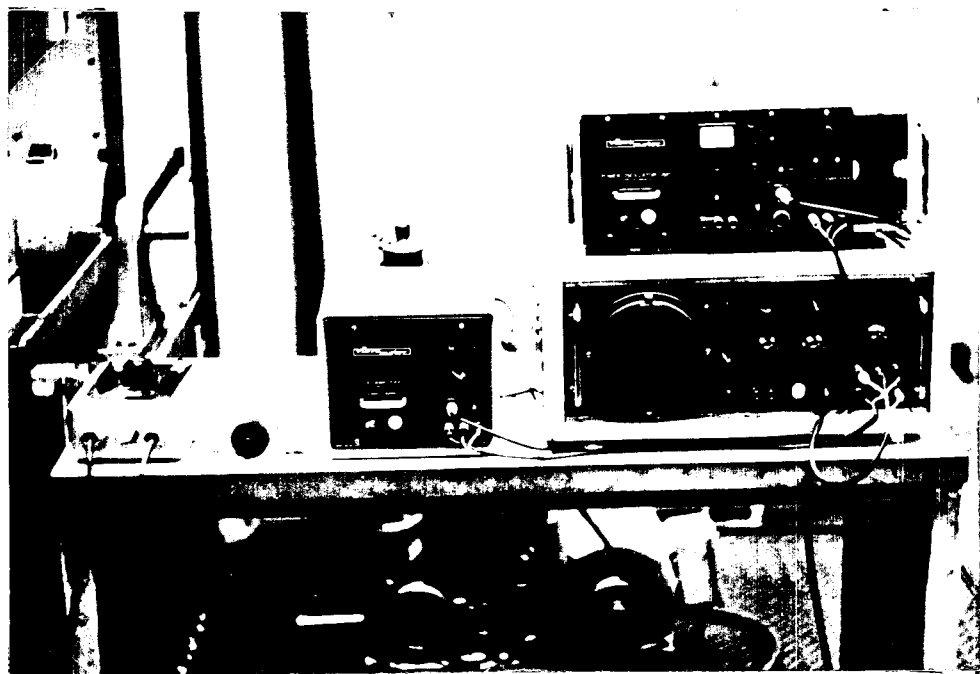




obr.11



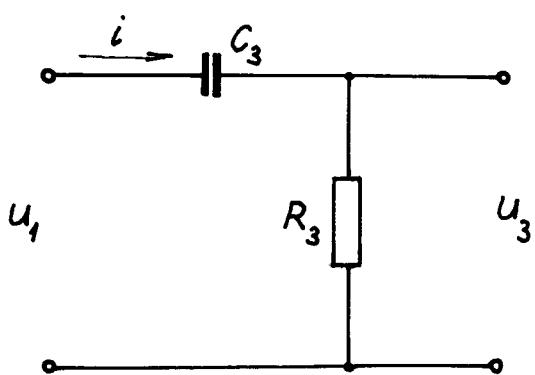
obr. 13



obr. 14

Pro sledování pohybu ventilu bylo použito přístrojů firmy "VIBROMETER". Na obr.14 je pohled na stůl s měřícím zařízením. Od leva leží: regulátor otáček vačkového hřídele, přepinač funkcí, střídavý zesilovač Y 13, osciloskop E 13. Na něm je položen napájecí zdroj, oscilátor, můstek a zesilovač pro časovou základnu.

#### 4.1.1 Derivační obvod R - C



obr.15

Podle obr.15 platí:

$$u_1 = u_C + u_R$$

$$\text{kde } u_3 = u_R = i R_3 \quad u_C = \frac{q}{C_3}$$

Po dosazení dostaneme:

$$u_1 = \frac{q}{C_3} + u_3$$

$$C_3 u_1 = i R_3 C_3 + q$$

Pro  $\omega \ll \frac{1}{R_3 C_3}$  můžeme zjednodušit

$$C_3 u_1 \doteq q$$

$$C_3 \frac{du_1}{dt} \doteq \frac{dq}{dt} = i$$

Po vynásobení  $R_3$  a po úpravě dostaneme

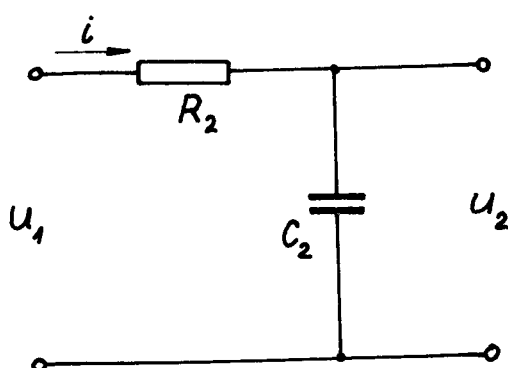
$$u_3 = R_3 i + R_3 C_3 \frac{du_1}{dt} \quad /4.1/$$

Napětí na výstupu je tedy přibližně úměrné derivaci vstupního napětí.

Přesně platí:

$$u_3 = u_1 e^{-\frac{1}{R_3 C_3} t}$$

#### 4.1.2 Integrační obvod R-C

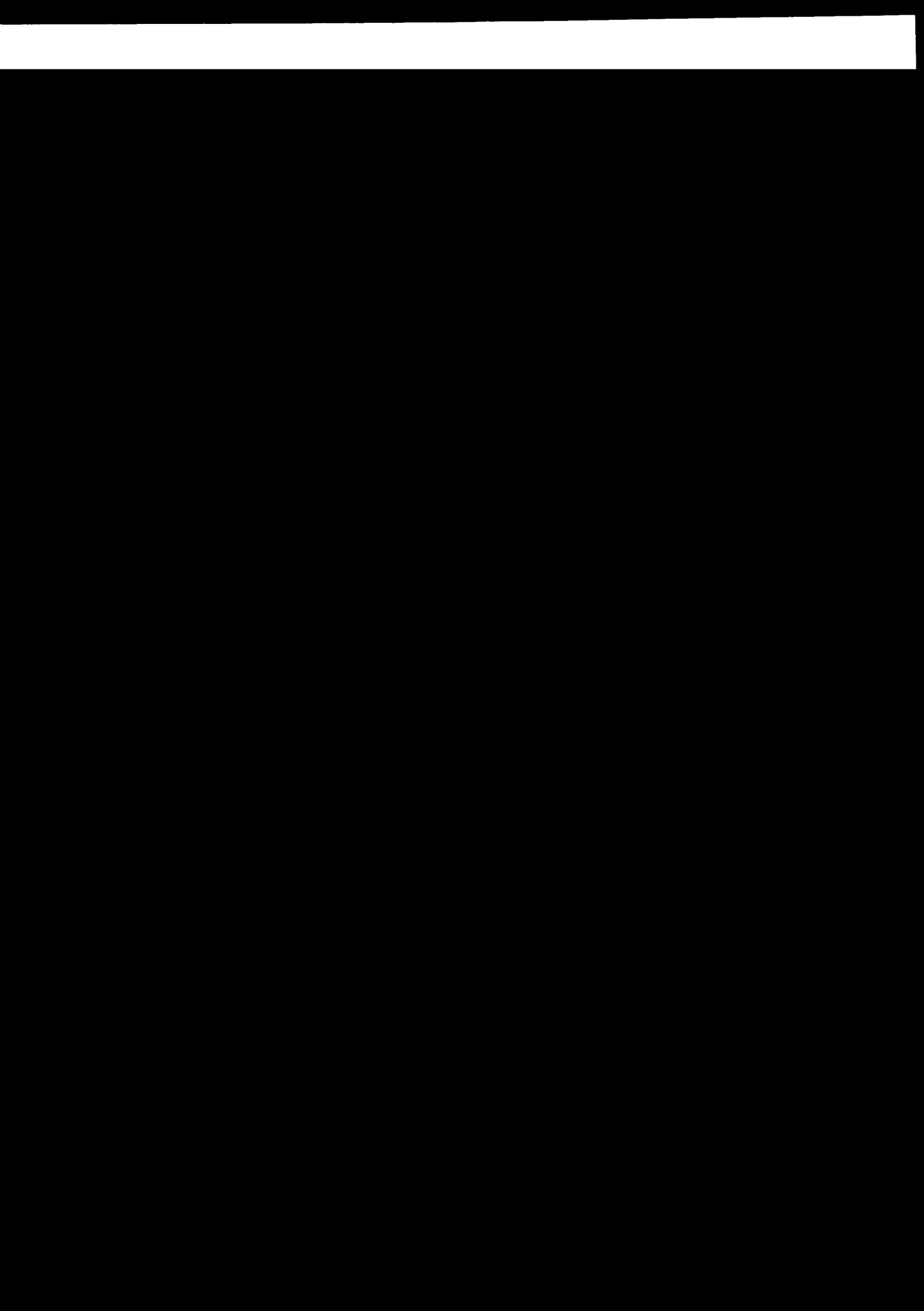


obr.16

Podle obr.16 můžeme psát

$$u_1 = R_2 i + \frac{q}{C_2}$$

$$\frac{u_1}{R_2} = i + \frac{q}{R_2 C_2}$$



Pro  $\omega \gg \frac{1}{R_2 C_2}$  můžeme člen  $\frac{q}{R_2 C_2}$  zanedbat.

Pak platí:

$$i \approx \frac{u_1}{R_2} \approx \frac{dq}{dt}$$

$$dq \approx \frac{1}{R_2} u_1 dt$$

$$q \approx -\frac{1}{R_2} \int u_1 dt$$

Jelikož  $q = u_2 C_2$  dostaneme dosazením vztah

$$u_2 \approx \frac{1}{R_2 C_2} \int u_1 dt \quad /4.2/$$

Výstupní napětí je tedy přibližně úměrné integrálu vstupního napětí.

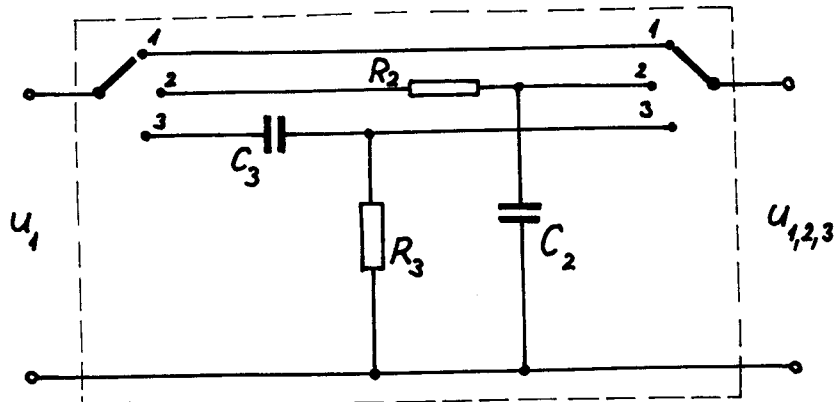
Přesně platí

$$u_2 = u_1 \left[ 1 - e^{-\frac{1}{R_2 C_2} t} \right]$$

#### 4.1.3 Praktické provedení integračního a derivačního obvodu - přepinač funkcí

Aby byla usnadněna práce s integračním a derivačním obvodem, byly tyto obvody vestavěny do společné krabičky s přepinačem funkcí. Tato krabička je pomocí konektorů a stíněných vodičů připojena ke snímači a ke vstupu zesilovače Y 13. Zapojení je na obr. 17.

Je-li přepinač v poloze 1, je napětí  $u_1$  přenášeno přímo a je úměrné rychlosti ventilu.



obr. 17

V poloze 2 je zapojen integrační článek  $R_2 C_2$ , takže na výstupu dostáváme napětí  $u_2$ , odpovídající zdvihu ventilu.

Derivační článek  $R_3 C_3$  je zapojen v poloze 3. Napětí  $u_3$  je tedy úměrné zrychlení ventilu.

#### 4.1.4 Výpočet měřítek

Při určování měřítek pro rychlosť a zrychlení musíme zřejmě vycházet ze známého měřítka pro zdvih:

$$M_h = \frac{h}{h_2} \quad \text{délku/ mm} \quad /4.3/$$

kde  $h$  je skutečný zdvih ventilu a  $h_2$  je zdvih ventilu na obrazovce osciloskopu, měřený v dílcích stupnice na stínítku.

Podle rovnice /4.2/ zřejmě platí:

$$\frac{du_2}{dt} = \frac{1}{R_2 C_2} u_1 \quad /4.4/$$

$$u_2 \approx h_2 = M_h h$$

$$u_1 \approx v_1 = k_1 M_v v$$

Dosazením do rovnice /4.4/ dostaneme:

$$M_h \frac{dh}{dt} = \frac{1}{R_2 C_2} k_1 M_v \cdot v$$

Jelikož  $\frac{dh}{dt} = v$ , dostaneme výraz pro měřítko rychlosti ve tvaru:

$$M_v = R_2 C_2 M_h \frac{1}{k_1} \frac{\text{délku}}{\text{mm/sec}} \quad /4.5/$$

Pro získání měřítka zrychlení nutno derivovat rovnici /4.4/ podle času

$$\frac{d^2 u_2}{dt^2} = \frac{1}{R_2 C_2} \frac{du_1}{dt}$$

Z rovnice /4.1/ dosadíme do předchozího vztahu.  
Dostaneme:

$$\frac{d^2 u_2}{dt^2} = \frac{1}{R_2 C_2 R_3 C_3} u_3, \quad \text{je-li } u_3 \approx a_3 = k_3 M_a a,$$

pak

$$\frac{d^2 h}{dt^2} M_h = \frac{1}{R_2 C_2 R_3 C_3} k_3 M_a a$$

Jelikož  $\frac{d^2 h}{dt^2} = a$ , dostaneme výraz pro měřítko zrychlení ve tvaru:

$$M_a = M_h \frac{R_2 C_2 R_3 C_3}{k_3} \frac{\text{délku}}{\text{mm/sec}^2} \quad /4.6/$$

Koefficienty  $k_1$  a  $k_3$  nám udávají, kolikrát nižší bylo zesílení zesilovače Y 13 při měření rychlosti nebo zrychlení oproti zesílení při měření zdvihu.

V derivačních a integračních obvodech byly použity tyto odpory a kapacity:

$$R_2 = 102 \text{ k Ohm}$$

$$C_2 = 2 \mu\text{F}$$

$$R_3 = 250 \text{ k Ohm}$$

$$C_3 = 500 \text{ pF}$$

V našem případě tedy pro měřítka platí:

$$M_v = R_2 C_2 \frac{\frac{M_h}{k_1}}{k_1} = 0,204 \frac{\frac{M_h}{k_1}}{k_1} \frac{\text{délku}}{\text{mm/sec}}$$

$$= 204 \frac{\frac{M_h}{k_1}}{k_1} \frac{\text{délku}}{\text{m/sec}} \quad /4.7/$$

$$M_a = R_2 C_2 R_3 C_3 \frac{\frac{M_h}{k_3}}{k_3} = 2,55 \cdot 10^{-5} \frac{\frac{M_h}{k_3}}{k_3} \frac{\text{délku}}{\text{mm/sec}^2}$$

$$= 2,55 \cdot 10^{-2} \frac{\frac{M_h}{k_3}}{k_3} \frac{\text{délku}}{\text{m/sec}^2} \quad /4.8/$$

Hodnoty konstant  $k_1$  a  $k_3$  pro výpočet měřitek jsou v tab.4.

n ot/min.	I. $h_v = 0$		II. $h_v = 0,3 \text{ mm}$	
	$k_1$	$k_3$	$k_1$	$k_3$
500	50	2	50	5
600	50	5	50	5
700	100	5	100	10
800	100	10	100	10
900	100	10	100	20
1 000	100	20	100	20
1 100	100	20	100	20

tab.4

#### 4.2.0 Popis zkušebního zařízení

Pro výrobu zkušebního zařízení bylo použito některých hotových dílů motoru M 630. Byl použit blok motoru, vačkový hřídel a kompletní hlava motoru M 630.

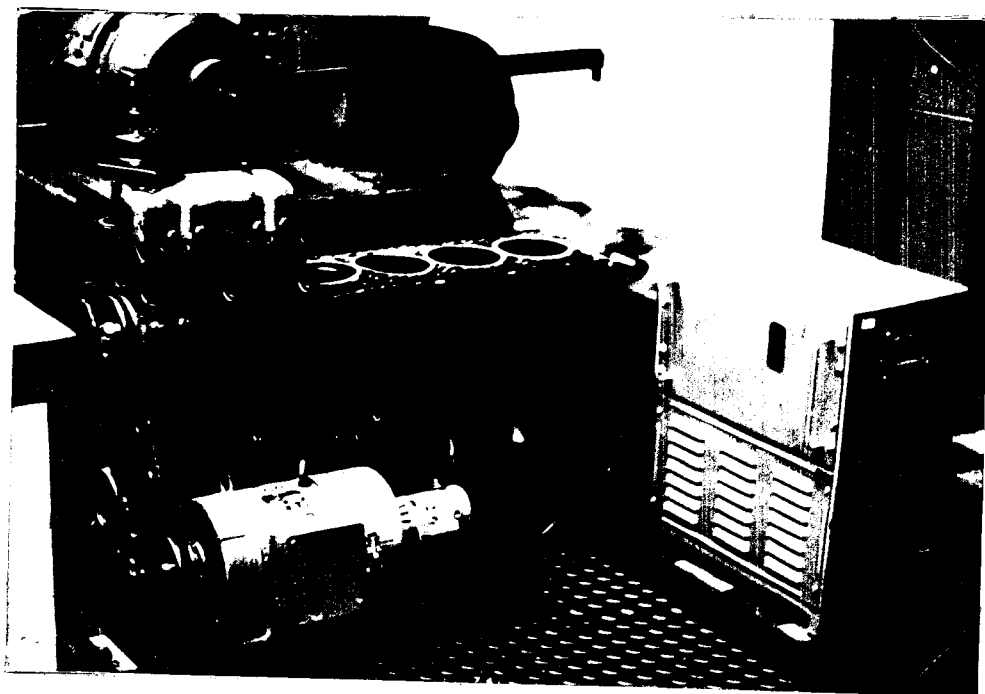
Blok stojí na společném rámu s elektromotorem, který pohání klínovým řemenem vačkový hřídel. Na bloku je přišroubována hlava pro jeden pár válců. Na sací ventil krajního válce je připojen snímač.

Pro pohon rozvodu byl použit elektromotor s plynoulou regulací otáček v rozmezí 100 - 2 800 ot/min., systém regulace ROME 1.2. Použit je stejnosměrný elektromotor s cizím buzením, typ TMN 10b, 1,7 kW.

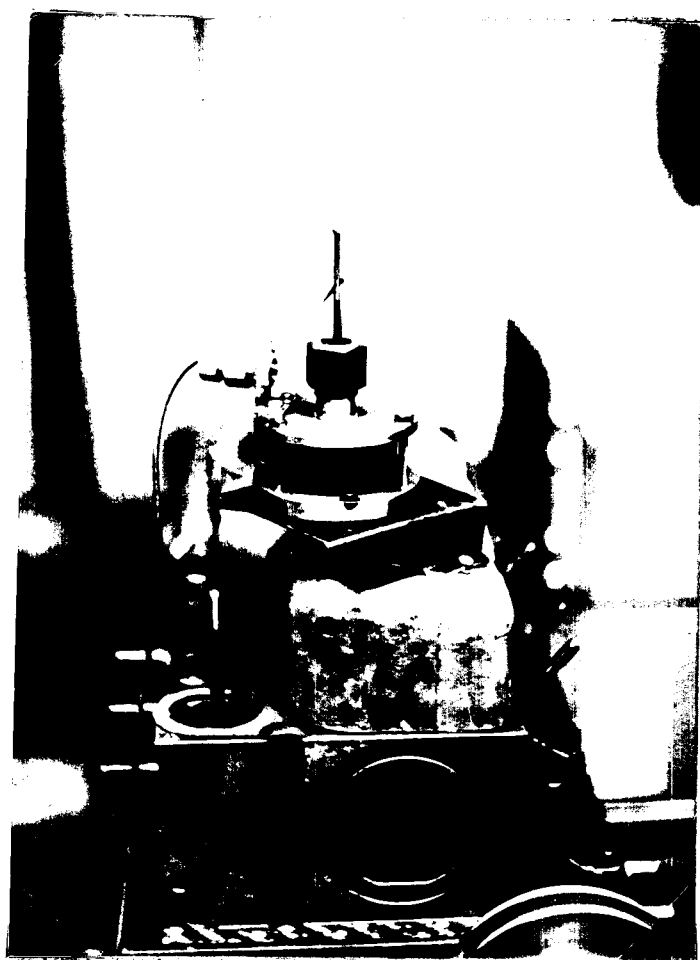
Utěsnění odpadních otvorů oleje v bloku i ve hlavě motoru umožnilo vytvořit olejovou lázeň a tím zajistit mazání součástí rozvodu.

Na obr.18 je celkový pohled na zkušební zařízení. Vpravo je skříň regulátoru otáček.

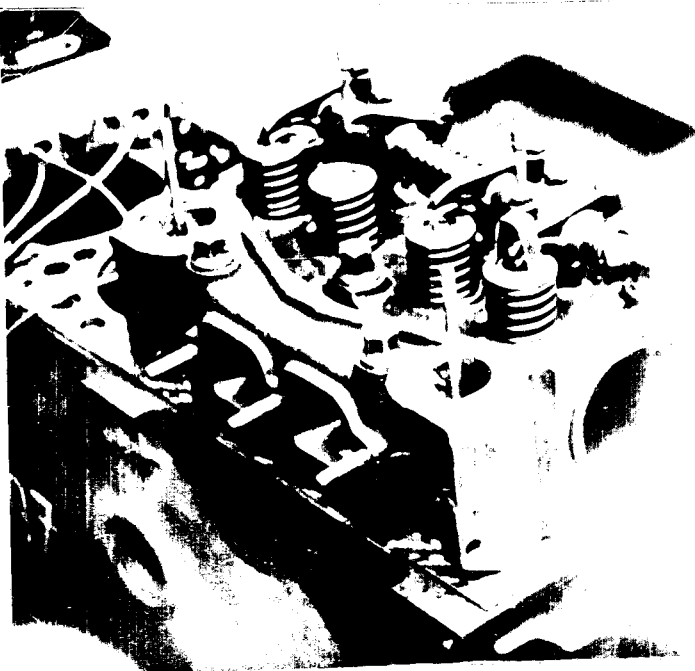
Obr.19 ukazuje upevnění snímače ke krytu rozvodu a na obrázku 20 je pohled na odkrytý rozvod. Na prvním ventilu je vidět třmen, do kterého se zašroubuje tyčka snímače.



obr.18



obr.19



obr.20

Pohyb ventilu na tomto zařízení odpovídá pohybu ventilu motoru M 630. Nelze však sledovat vliv teploty oleje na pohyb ventilu. Teplotu motoru lze simulovat pouze zmenšováním ventilové výle.

#### 4.3.0 Vlastní měření

Výsledkem měření jsou snímky průběhu zdviжу, rychlosti a zrychlení, fotografované z obrazovky osciloskopu. Obrazovka byla opatřena rastrem. Měřítka pro vypočet zdviжу, rychlosti a zrychlení ventilu jsou uvedena v tab.5 a tab.6. V těchto tabulkách jsou také uvedeny změřené maximální hodnoty zrychlení /kladného/ a maximální kladné a

záporné rychlosti.

I :  $h_v = 0$        $h = 13,16 \text{ mm}$

n ot/min	$M_h$ dílků mm	$M_v$ dílků m/sec	$M_a$ dílků $\text{m/sec}^2$
500	1,215	4,97	0,0155
600	1,292	5,28	0,00659
700	1,292	2,64	0,00659
800	1,312	2,68	0,00335
900	1,330	2,71	0,00339
1 000	1,216	2,48	0,00155
1 100	1,05	2,14	0,00134

n ot/min	- $v_{\max.}$ m/sec	$v_{\max}$ m/sec	$a_{\max}$ $\text{m/sec}^2$
500	1,26	1,81	850
600	1,61	2,18	1 366
700	1,82	2,72	1 590
800	2,12	3,17	1 850
900	2,4	3,88	2 360
1 000	2,62	4,43	2 840
1 100	2,8	4,68	3 720

tab.5

II :  $h_v = 0,30 \text{ mm}$        $h = 12,75 \text{ mm}$

$n$ ot/min.	$M_h$ délkù mm	$M_v$ délkù m/sec	$M_a$ délkù m/sec <sup>2</sup>
500	1,360	5,54	0,00694
600	1,292	5,28	0,00659
700	1,318	2,69	0,00335
800	1,318	2,69	0,00335
900	1,210	2,46	0,00154
1 000	0,910	1,80	0,00116
1 100	0,950	1,935	0,00121

$n$ ot/min	$- v_{\max}$ m/sec	$v_{\max}$ m/sec	$a_{\max}$ m/sec <sup>2</sup>
500	1,26	1,98	1 150
600	1,59	2,18	1 365
700	1,93	2,71	1 940
800	2,04	3,16	2 380
900	2,44	3,98	3 440
1 000	2,58	4,46	3 980
1 100	2,79	4,8	4 140

tab.6

### 1/ Vliv ventilové vůle

Měření bylo provedeno jednak bez ventilové vůle, /snímky označené I/, jednak s predepsanou vůlí pro motor M 630 /snímky označené II/. To umožnuje sledovat vliv vůle na pohyb ventiliu.

Maximální rychlosti v obou případech jsou približně stejné. Liší se však průběhem. První kmit rozvodu se v případě s vůlí přesouvá blíže k maximální rychlosti / inflexnímu bodu zdvihu/, rychlosť má strmější růst. To se samozřejmě projeví větší hodnotou zrychlení, oproti případu bez vůle.

### 2/ Odraz ventiliu od sedla

Na snímcích lze sledovat odraz ventiliu od sedla již při nízkých otáčkách /patrno z průběhu rychlosti a zrychlení/. Významější amplitudy však tento skok nabývá až při  $n = 900$  ot/min. Maximální hodnota skoku při  $n = 1100$  ot/min. je přibližně 1,8 mm. Při těchto otáčkách je také patrný ještě jeden odraz ventiliu.

### 3/ Vliv hmoty snímače

Při vyhodnocování měření je také nutno uvažit vliv hmoty tyčky snímače a hmoty třmenu.

Nejlépe je přepočítat otáčky vačkového hřídele tak, aby dynamické jevy byly ekvivalentní. Zřejmě platí:  $m_r n_s^2 = /m_r + m/ n^2$

kde  $n_s$  jsou opravené otáčky

$m = 0,00306 \text{ kp sec}^2/\text{m}$  je hmota tyčky a

třmena. Tedy platí:

$$n_s = n \sqrt{\frac{m_r + m}{m_r}} = 1,036 n$$

Tedy otáčky uváděné v tabulkách a na snímcích by měly být správně o 3,6 % vyšší. Tuto chybu však lze zanedbat.

#### 4.3.1 Porovnání výpočtu a měření

Hodnoty maximálních záporných rychlostí vykazují celkem dobrou shodu s vypočítanými hodnotami. Maximální kladné rychlosti jsou podstatně vyšší než vypočtené, což je způsobeno mnohem větší amplitudou kmitů, než bylo určeno výpočtem. Shoda maximálních záporných rychlostí s výpočtem je zřejmě způsobena utlumením kmitů.

Hodnoty maximálních zrychlení velmi převyšují hodnoty vypočtené. I v tomto případě je to způsobeno větší amplitudou kmitů.

Dále je zajímavé porovnat kmitočet vlastních kmitů soustavy určený výpočtem, se skutečností.

Podle výpočtu je  $\Omega = 3\ 488,67$  rad/sec.

Jelikož  $\Omega = 2\pi f$ , můžeme vypočítat

$$f = \frac{\Omega}{2\pi} \approx 556 \text{ Hz}$$

Kmitočet skutečného kmitání byl vyhodnocován ze záznamu rychlosti při 800 ot/min. bez ventilové výle.

Doba otevření sacího ventilu:

$$t = \frac{60}{n} \cdot \frac{\alpha}{360}, \text{ kde } \alpha = 112^\circ - \text{úhel pootočení}$$

vačky, po který je sací ventil otevřen. Kmitočet lze vypočítat ze vztahu:

$f_s = \frac{c}{t}$ , kde  $c = 10,5$  - počet kmitů v době otevření ventilu. Tedy:

$$f_s = \frac{360 c n}{60 \alpha} = \frac{360 \cdot 10,5 \cdot 800}{60 \cdot 112} \approx 450 \text{ Hz}$$

Vidíme, že  $f_s < f$ . To může být způsobeno nepřesností nahrazení ventilového rozvodu jednohmotovou soustavou a zanedbáním vlivu tlumení.

#### 4.3.2 Záznamy průběhu zdvihu, rychlosti a zrychlení ventilu

Na str. 58 - 71 jsou uvedeny snímky průběhu zdvihu, rychlosti a zrychlení ventilu.

Snímky označené I odpovídají pohybu ventilu bez výle  $h_v = 0$ , snímky označené II znázorňují pohyb ventilu s výlou  $h_v = 0,30$  mm.

Druhé číslo na snímcích značí počet otáček vačkového hřídele.

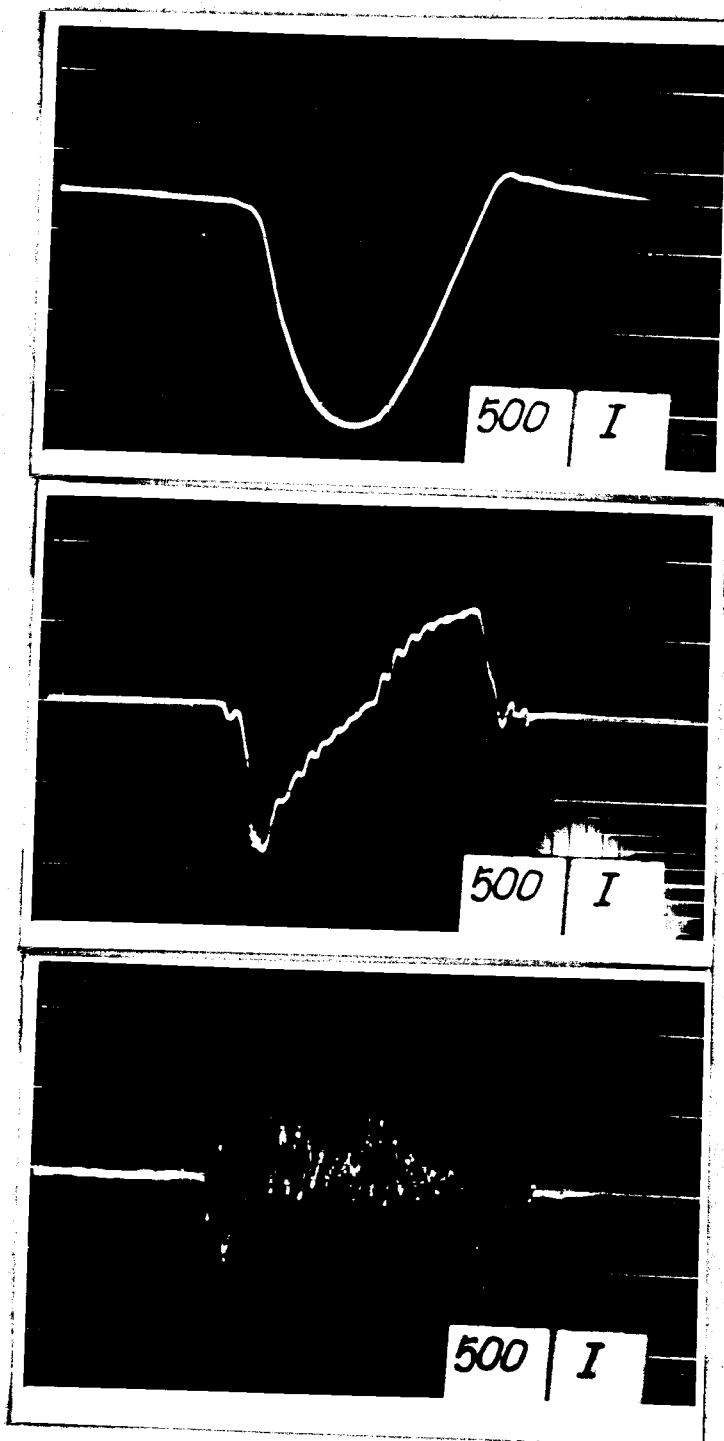
**VŠST LIBEREC**  
**FAKULTA STROJNÍ**

Kinematika a dynamika  
pozvánka QM7

Strana 6. 58

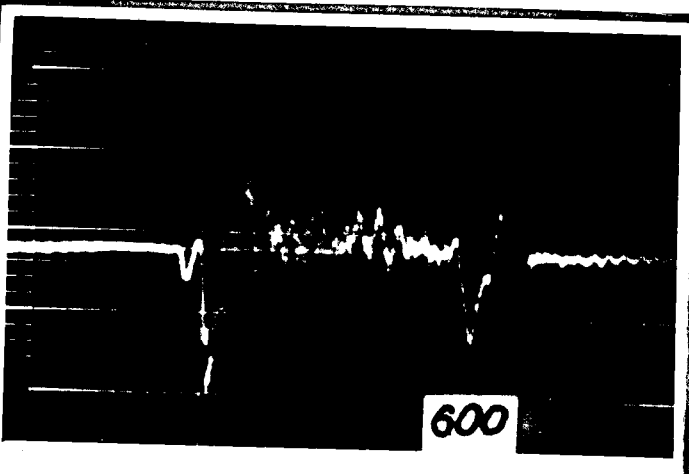
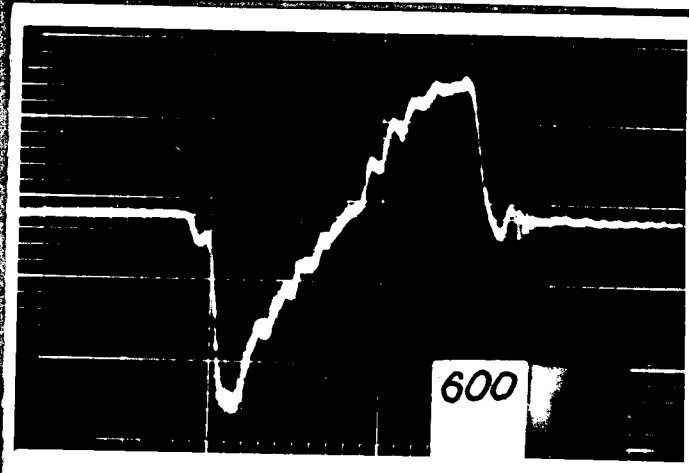
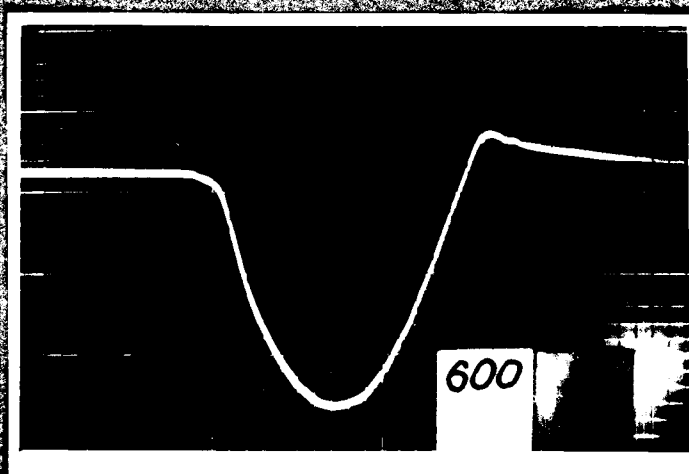
5. červenec 1969

Jaroslav Kost



TEST RECORD

RECORD NUMBER



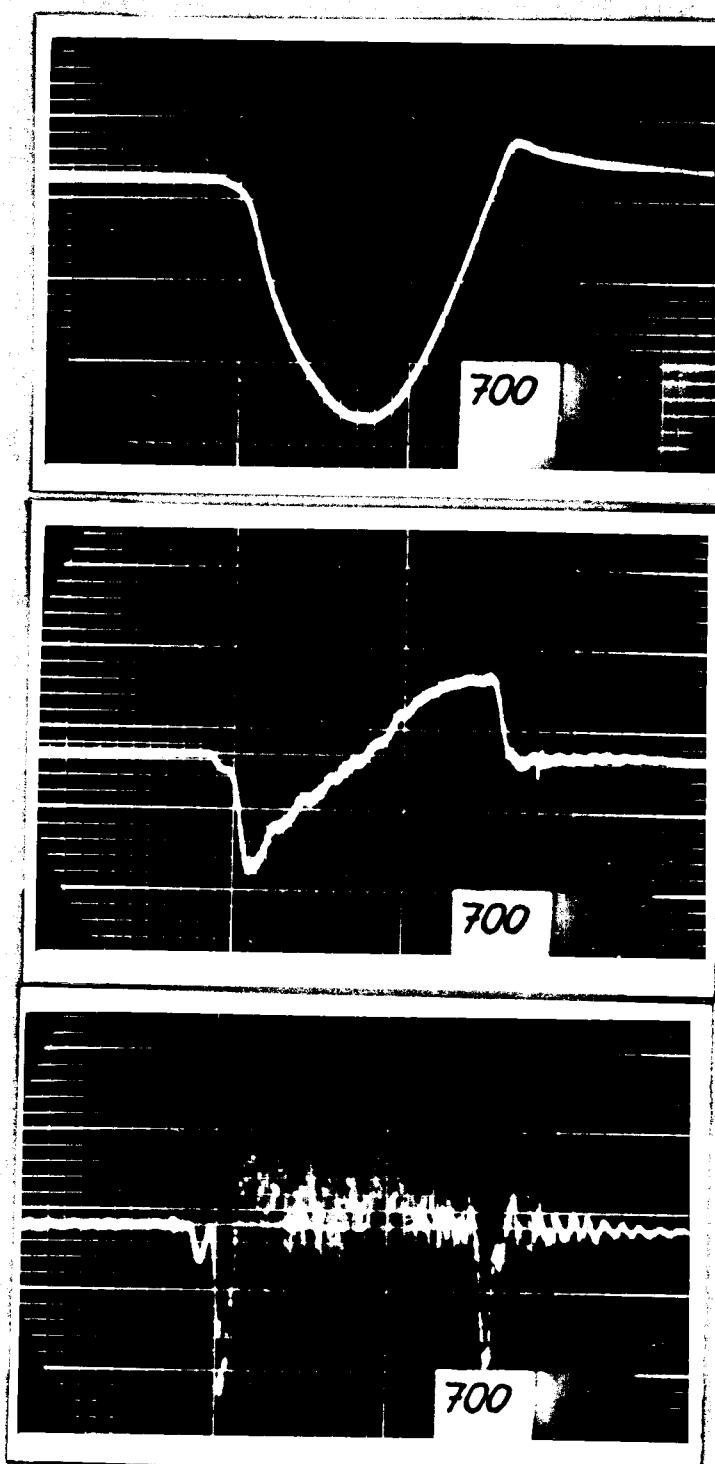
**VŠST LIBEREC**  
**FAKULTA STROJNÍ**

**Klouzatelné a výměnné  
zavírací OEV**

**Strana 5. 60**

**5. července 1969**

**Jedná se o test**

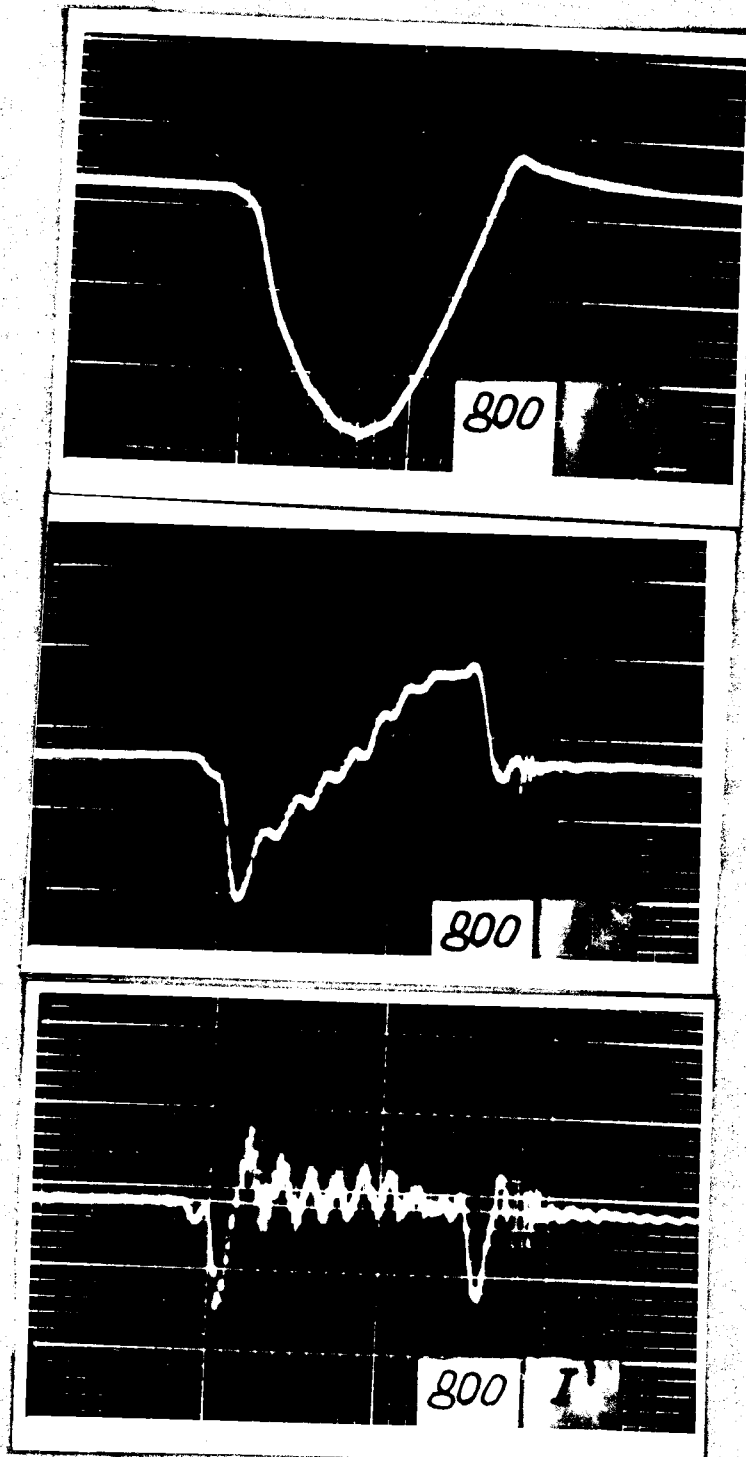


VŠST LIBEREC  
FAKULTA STROJNÍ

Kinematika a dynamika  
Fakulta strojní

Strana 5, 63

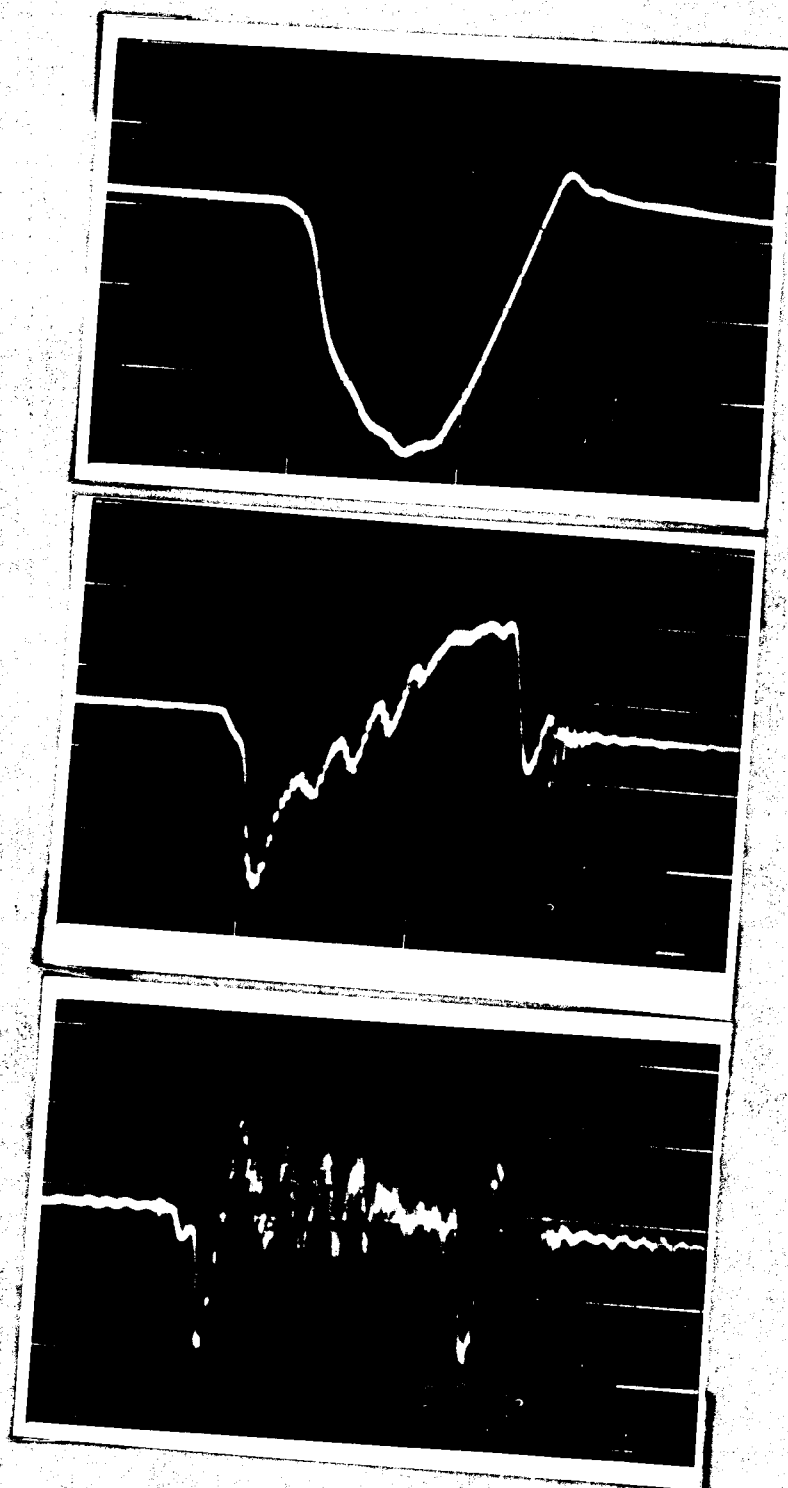
3. července 1969  
Jaroslav Kočík

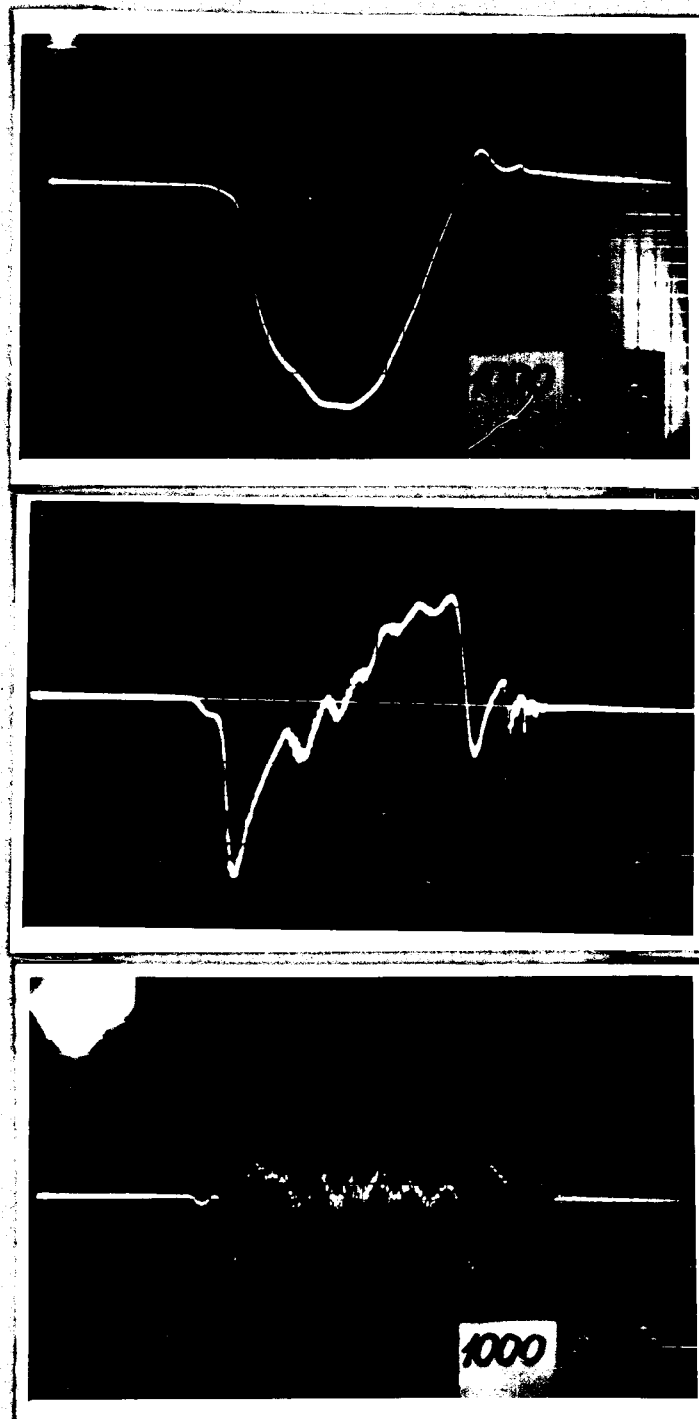


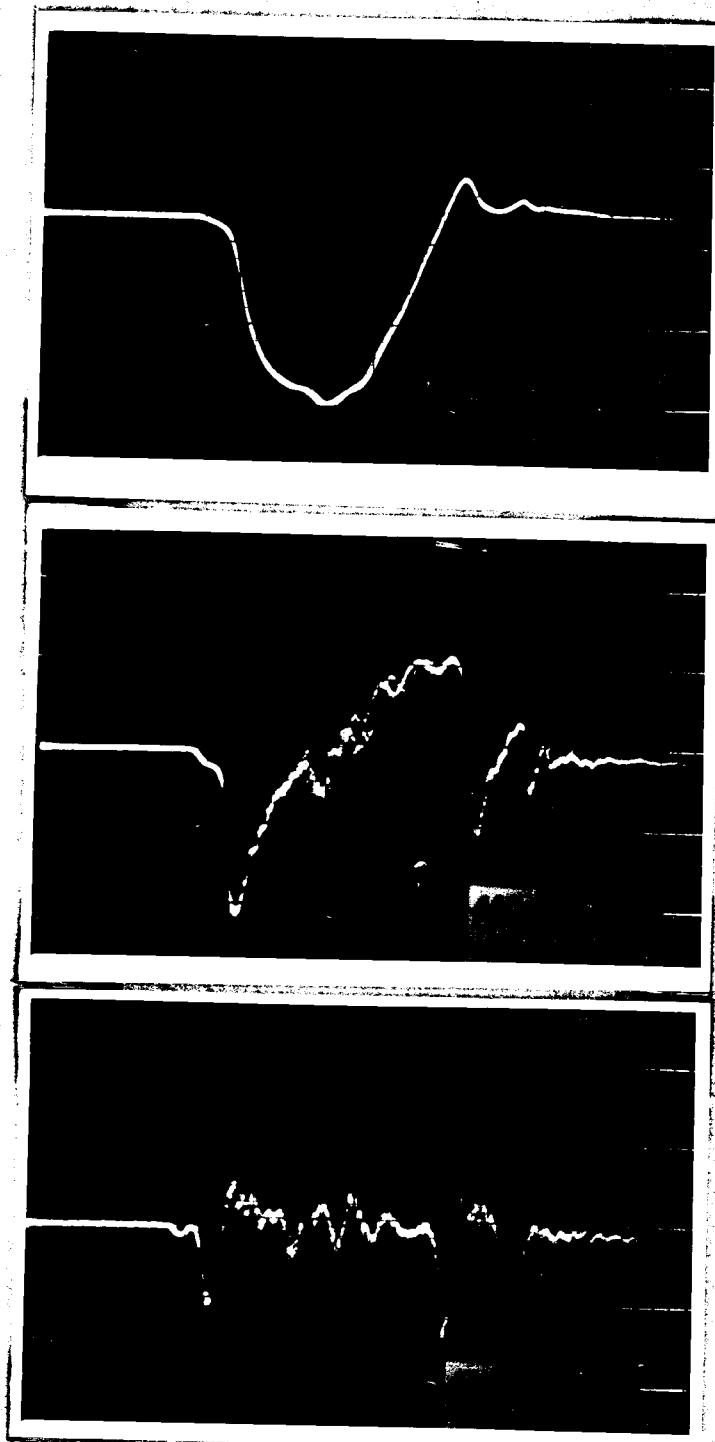
VŠST LIBEREC  
FAKULTA STROJNÍ

Kinematika a dynamika  
řešených úloh

Strana 5. 68  
3. července 1969  
Jaroník Karel





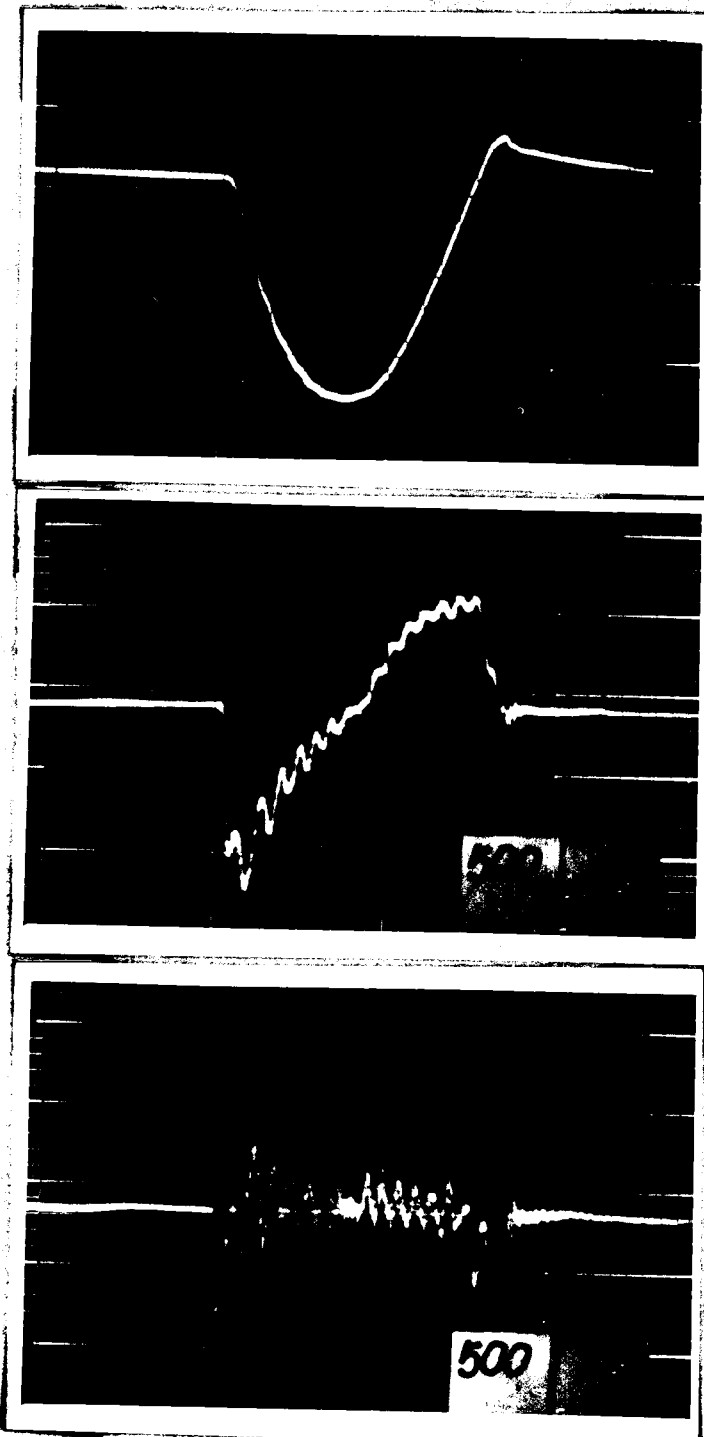


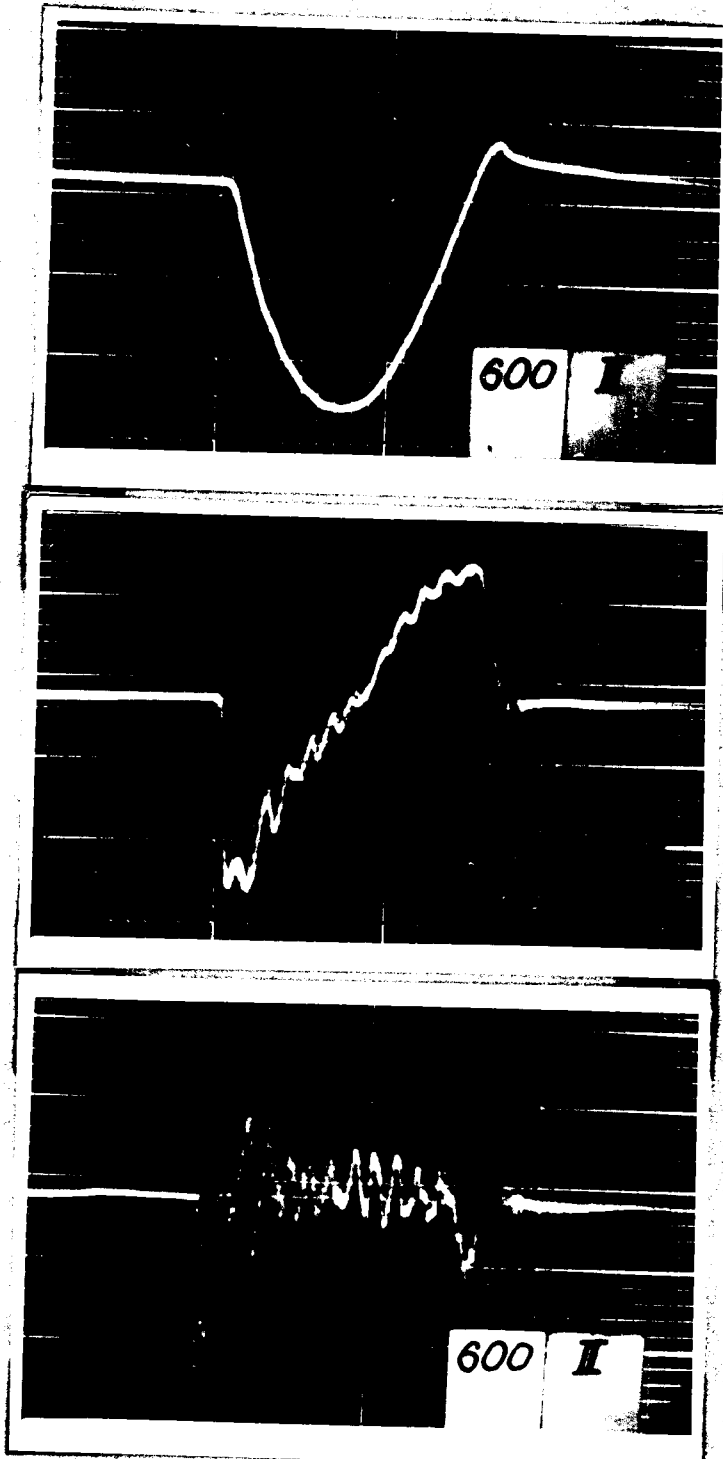
**VŠST LIBEREC**  
**FAKULTA STROJNÍ**

**Kinematika a dynamika  
závěrečná práce**

**Strana 8. 65**

**5. července 1969**  
**Jaroslav Kost**



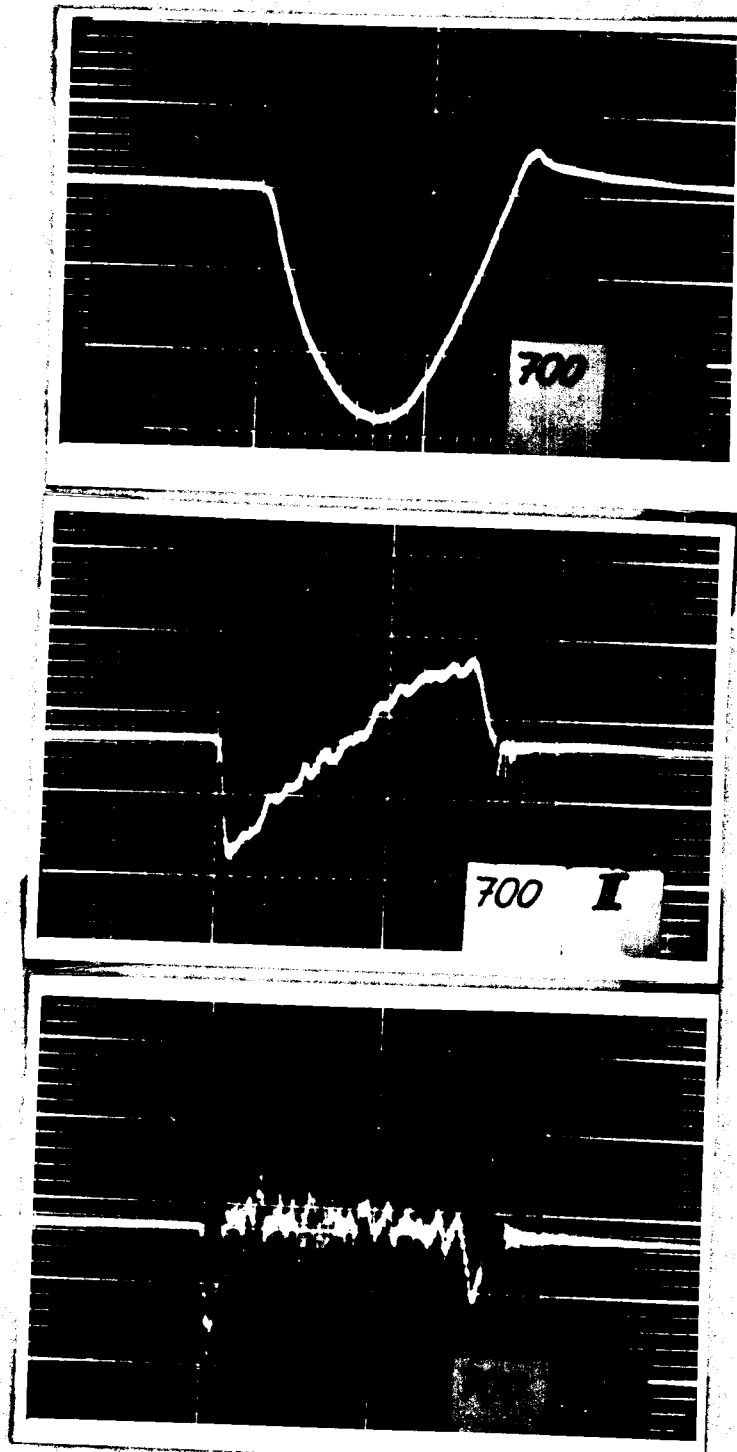


VŠST LIBEREC  
FAKULTA STROJNÍ

Kinematika a dynamika  
rozvodu OHV

Strana č. 67

5. července 1969  
Jaroslav Kost



**VŠST LIBEREC**  
**FAKULTA STROJNÍ**

**Kinematika a dynamika  
rozvodu OHV**

**Strana č. 68**

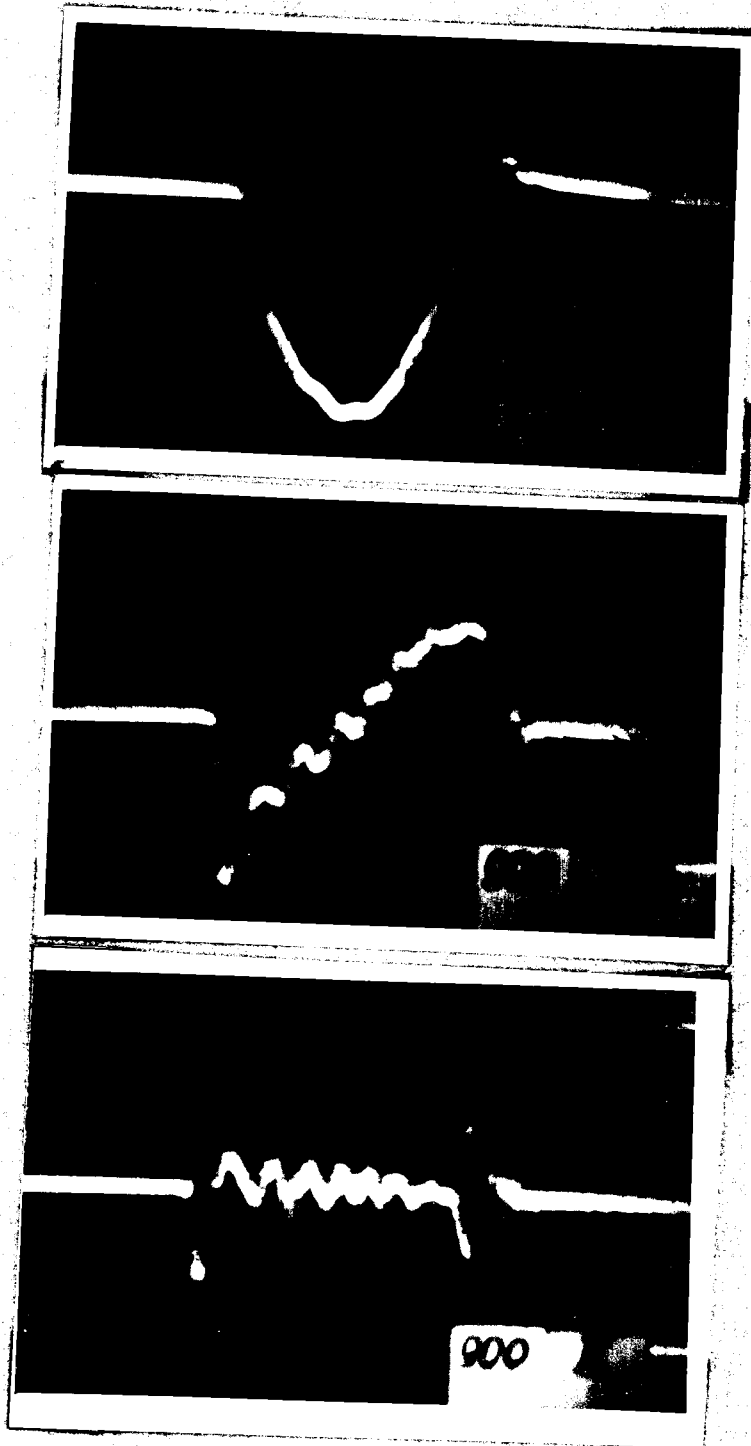
**5. července 1969**  
**Jaroslav Kost**

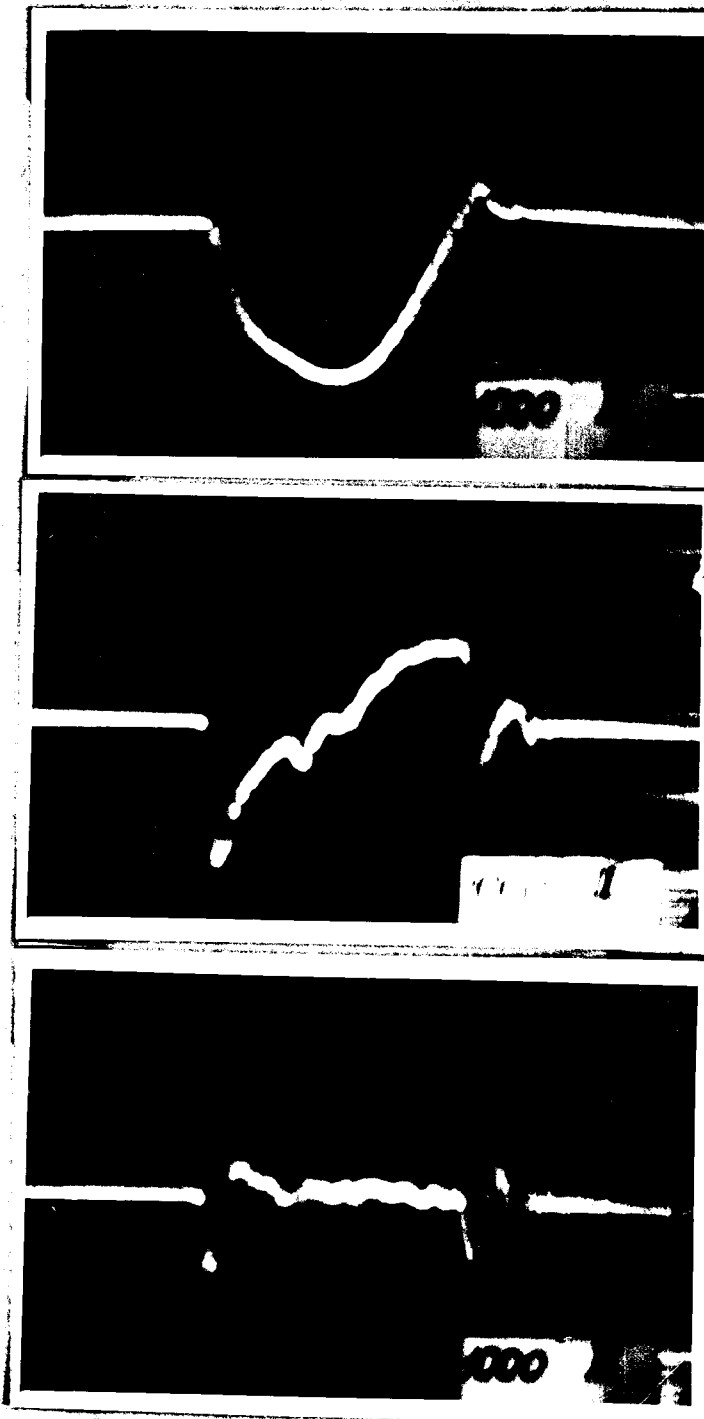


VŠST LIBEREC  
FAKULTA STROJNÍ

Kinematika a dynamika  
rozvodu OHV

Strana 5, 69  
5. července 1969  
Jaroslav Kočík





VŠST LIBEREC  
FAKULTA STROJNÍ

Kinematika a dynamika  
rozděluje OHV

Strana č. 71

5. července 1969  
Jaroslav Kost



4.4.9 Z h o d n o c e n i s t a t i c k o j m e t o -  
d y

Použití metody je vhodné zejména pro  
situaci jednoduchost a universitašt pochuti. I so bez  
velkých potíží vypočítat snadno lineární i pro  
změnou závislosti. Velkou předností je také fakt pro-  
stota závislosti, zjednodušení a zjednodušení s jedinou změ-  
nou. Tato metoda je také frekvencijně nezávislá na  
velkém rozsahu.

Mosi novýkdy potří použít metodu statického obje-  
dování a s tím spojené totiž použít při výpočtu  
metody. Do metody je také využita nezávislost  
mezi první D-Q členy a závislost jejich me-  
natodenných výpočtů.

Je uvedeného výplňtu, že tato metoda zahrnuje  
vhodné řešení, zjednodušení velkého počtu průběhů závislosti  
ventilu, které však cokoliv dobrý přehled o pohybu  
ventilu a i so ji použít ve vztahu k řešení.

## 2.1.3.2

Přesné dynamické řešení pohybu ventila je složité a obtížné. Výsledek, tak jak byl proveden v této diplomní práci, nedává přesné řešení pohybu ventila. Je to z velké části následkem neudanosti stanovení vstupních parametrů, když, redukovánou hmotou aktuérům, součet rozvedovacích mechanismů, a vlivem výjednávacího vyjádření třídy.

Z těchto hledisek jsou výhodnější vlastnosti sítových soustav a použití analogového počítače. Zde užice narůžíme cíl na rozložení hmot a výjednávacího vyjádření, avšak analogový model má daleko méně tyto parametry mít v rukou rozebrat, a tím obecně mít i lepší vliv na pohyb ventila.

Pro přesné řešení skritodobého pohybu ventila je obvykle nutno provést mítens na aktoru. V této diplomní práci je jednáno jenom o možnosti téhoto mítenu.

Slovesně děkuji u. Ing. Oldřichovi Červinkovi OSB za radu, kterou mi poskytl během této práce.

SEZNAM STUDIÍ A KONFERENZ

- R.J. Brumwell      Automotive cam profile synthesis  
and valve gear dynamics from 41-  
dimensionless analysis      /I/  
  
SAE Preprints, nro., N 66 0032, 22 pp. /I/  
  
D.A. Stoddart      Polydome cam design  
Machine Design, vol. 25, N 11 1-3      /II/  
  
H. Sejdovský      Dvoucestový mechanizmus motoru M 630  
a jeho dynamické vlastnosti  
Dipl. práce, VŠST Liberec 1967      /III/  
  
V.N. Lashina, E.I. Burdakov: Metodika konstrukcij  
roboty gaskomprimitelnykh me-  
chanismov dvizhenija  
AVT. pren. č. 12/ 1969      /IV/  
  
Jr. A. Kogan:      Iskolotvorné dvizhenija klapiek  
dvizhenija SIL-III  
AVT. pren. č. 9/ 1968      /V/  
  
W. Schatz:      Die elektronische Steuertechnik in  
Motoren- und Fahrzeugen  
MPS č. 9/ 1959      /VI/  
  
J. Kolodník:      Dynamika stroje, SSVL      /VII/  
  
W.M. Dudley:      New methods in valve cam design  
SAE Quarterly Transactions, vol. 2, N 1.  
/VIII/  
  
Jr. A. Kogan:      Upravující systém kvalitativních  
parametrů průmělných mechanismů

VŠST LIBEREC  
FAKULTA STROJNÍ

KOMPLEXNÍ S. DÝVKOVÁ  
PROVĚDĚNÍ CESTY

ROZMÍR. 0. 72  
5. října 1962  
Jednání Rady

ROZDÍL VÝBORNÝ  
AVTO. ŽIVOT. 0. 4/ 1958

/X/